





http://www.iiscopernico.gov.it/attivita/newss/308-remtech-expo-2017





PROGETTO SCUOLA REMTECH EXPO 2017

TERREMOTI E RISCHIO SISMICO: CONOSCERE PER PARTECIPARE

...per una iniziale informazione didattica

ACCENNI a comportamenti degli edifici sotto azioni sismiche e ad altri contenuti della mostra

Incontri del 20-21-22 settembre 2017



Tu e il terremoto



I terremoti del **1831** (9.11) **– 1832** (3.**13**) in pianura padana emiliana (pdf, 3,83 MB)

L'interpretazione del potere costituito

I rivoluzionari risorgimentali ritenuti «responsabili» morali del terremoto: titolo di paragrafo a p. 352 del volume «VIAGGIO NELLE AREE SISMICHE», DPC-2007





otimeto 98.

LA YOUR DELLA YERITÀ

Gazzetta dell' Italia Centrale

FILIPPO CATTANI

Patrizio di Roggio e di Carpi, per la Grazia di Dio e della Santa Sede Apostolica Vescovo di Reggio e Principe, di Sua Santità Papa Gregorio XVI Prelato Domestico Assistente al Solio Pontificio.

14 marzo 1832 Agli Abitanti della detta Città e Diocesi





FRANCESCO IV.

PER LA GRAZIA DI DI

DUCA DIMODENA,

REGGIO, MIRANDOLA, MASSA E CARRARA, Ecc. Ecc. Ecc. ARCIDUCA D'AUSTRIA, PRINCIPE REALE D'UNGHERIA, E BOEMIA

Ai Nostri Amati Sudditi.

15 marzo 1832

Il terremoto per quanto potesse studiarsi dagli uomini a spiegarlo colle leggi fisiche, è notoriamente da tutti i non miscredenti riconosciuto come un flagello che Dio manda talvolta al pari di tanti altri, sia per castigo, sia per avvertimento agli uomini di convertirsi quando di gravi reità si sono resi colpevoli, o quando dimenticati di Dio battono una falsa strada, o si abbandonano alle loro ree passioni.

Dipinto, custodito nel Museo Civico di Mirandola "Madonna con Bambino in gloria con San Felice Cappuccino e San Francesco Solano", sullo sfondo si intravedono edifici vacillanti.

Pala d'altare, donata dalla famiglia Forni alla chiesa di San Francesco come ex voto, dopo il **terremoto del 15 dicembre 1571**

"In giorno di martedì verso le ore 24 ½ (sic) successe una grande scossa di terremoto che spaventò tutto il popolo di Carpi".





La B.V. delle Grazie preserva FAENZA dai danni del terremoto

Ignoto autore sec. XVIII, 1781 Olio su rame Faenza, Archivio della Confraternita

E a FORLÌ ? ... la Madonna del Fuoco

E a CERVIA ? San Rogato



E a SCARPERIA?

Madonna del Terremoto:

dipinto ex voto (di F. Raibolini, detto il Francia) dopo i terremoti nel bolognese del 1504-1505, conservato in Sala d'Ercole di Palazzo d'Accursio.

Cartiglio alla base:
MENTRE IL TERREMOTO
ROVINAVA TUTTO, IL SIGNORE
E I CONSOLI POSERO
L'IMMAGINE DELLA VERGINE
MADRE DI DIO PER LA CITTA'
PRESERVATA



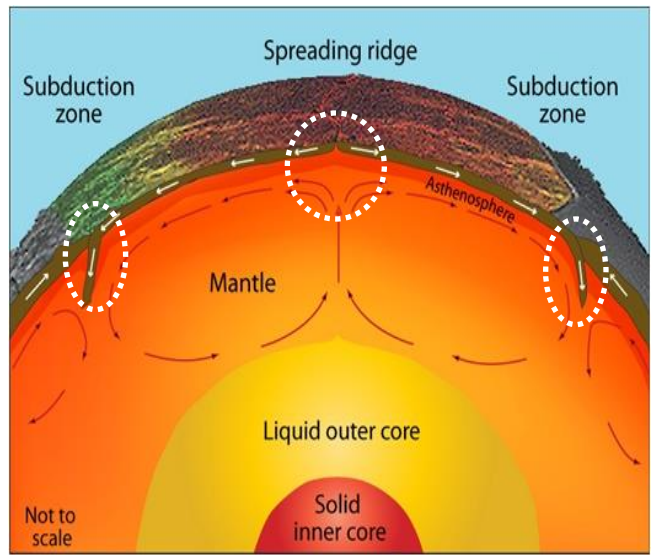


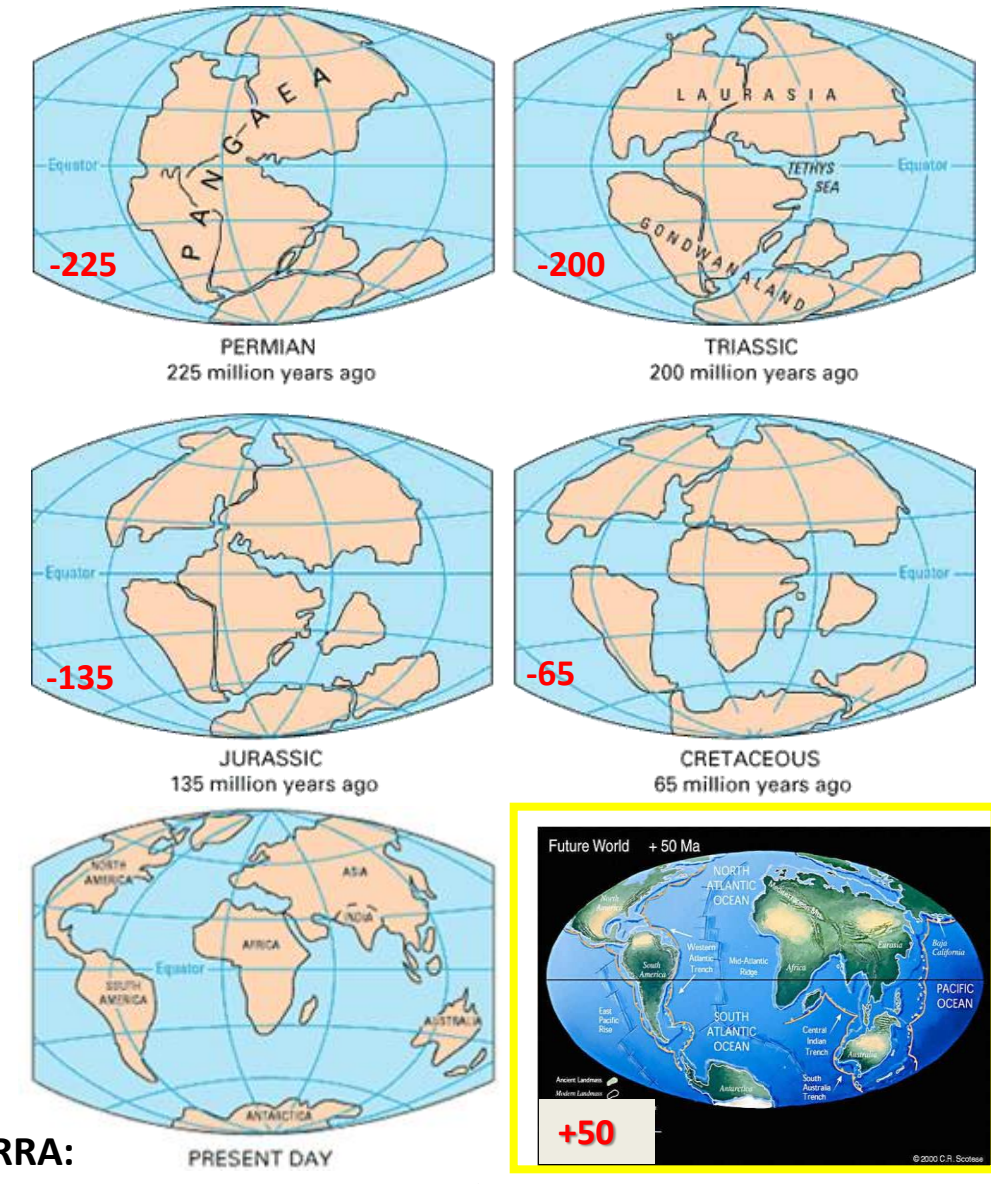
Sant'Emidio, patrono di Ascoli, Marche....e Rimini.

Nel gennaio-febbraio 1703 l'Italia Centrale fu colpita da fortissimi terremoti che causarono la quasi totale distruzione di molte località umbre, laziali e abruzzesi (tra cui Norcia, Amatrice e L'Aquila). Le Marche, e Ascoli in particolare, subirono invece solo danni lievi: ciò fu interpretato dalla comunità ascolana come segno di una particolare intercessione del suo patrono. Anche a Rimini, circa un mese dopo il terremoto del 25 dicembre 1786, venne deciso pubblicamente come santo protettore Sant'Emidio, vescovo di Ascoli, considerato particolarmente efficace per proteggere dal terremoto.

La Teoria della Deriva dei Continenti è oggi inglobata e integrata nel Modello della Tettonica delle Placche







PIANETA TERRA:

UN MOTORE SEMPRE ACCESO

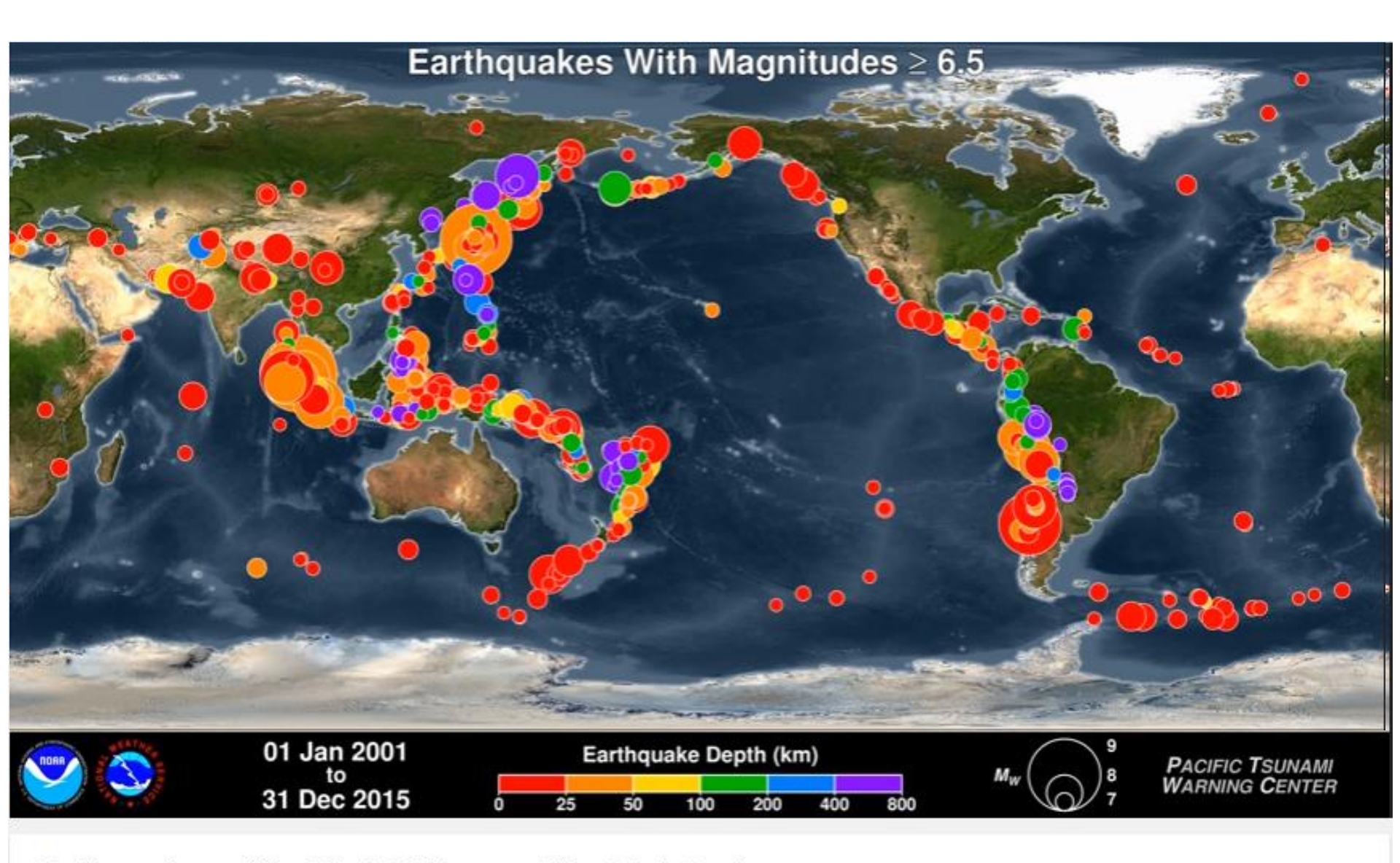
(filmati di circa 1 minuto)

Accrescimento dorsale oceanica

<u>Distruzione litosfera (subduzione)</u>

Appendice 1 <u>aspetti geodinamici</u>

(curata dal prof. Paolo Scandone)



Earthquakes of the First 15 Years of the 21st Century

[filmato di 3'49'']



Intensità M.C.S. «classificazione» – per località – degli effetti

(lmx, lo, ls) che possono variare moltissimo a seconda di: profondità ipocentro e distanza dall'epicentro, categorie di suolo, vulnerabilità costruzioni.....



I-II grado

III-IV grado

V-VI grado

VII-VIII grado

IX-X grado

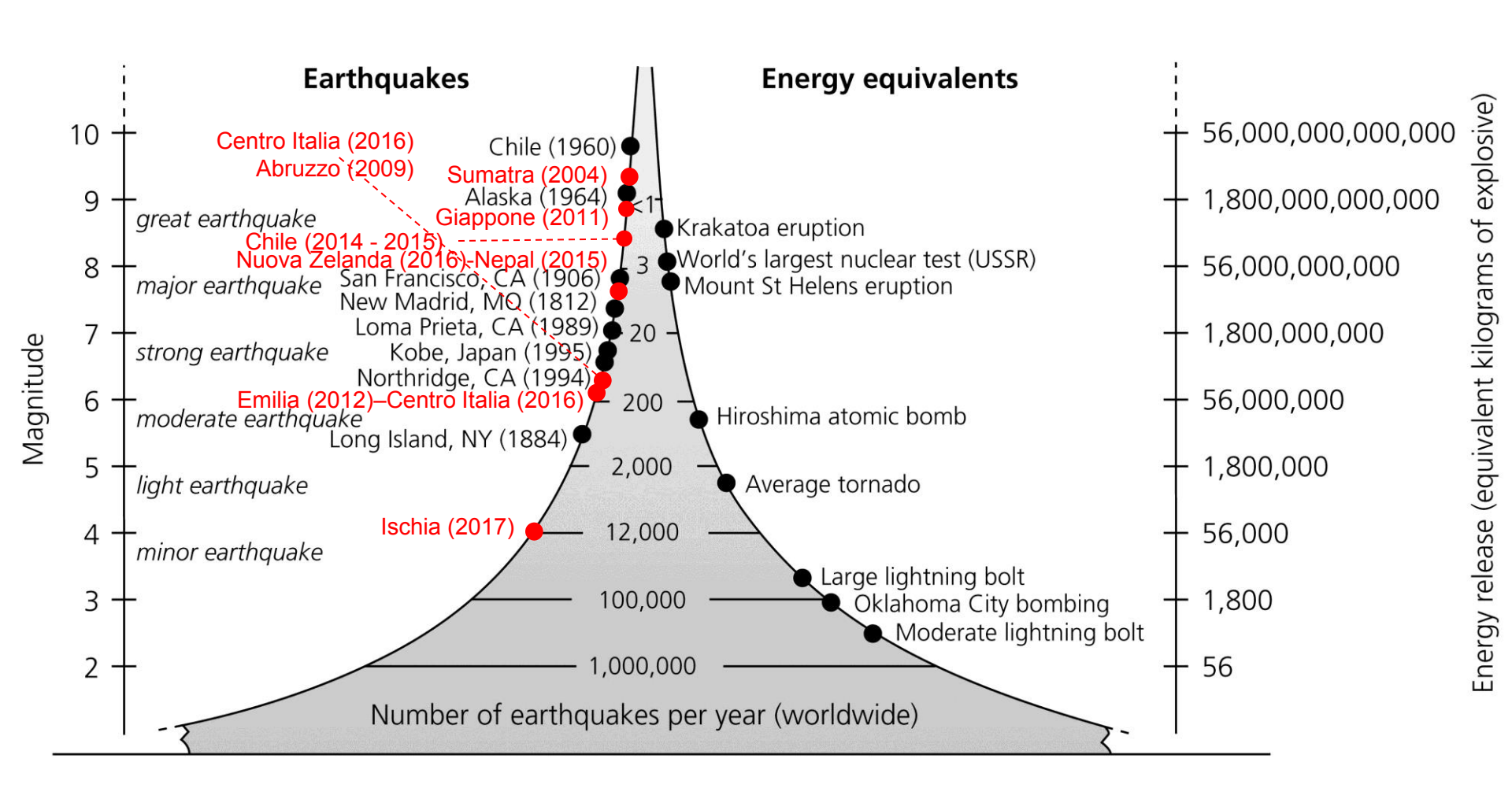
XI-XII grado

"produzione continua" di terremoti nel mondo: es. i primi quattro mesi del 2014 [filmato di 2'32"]

I terremoti di giornata

http://cnt.rm.ingv.it/

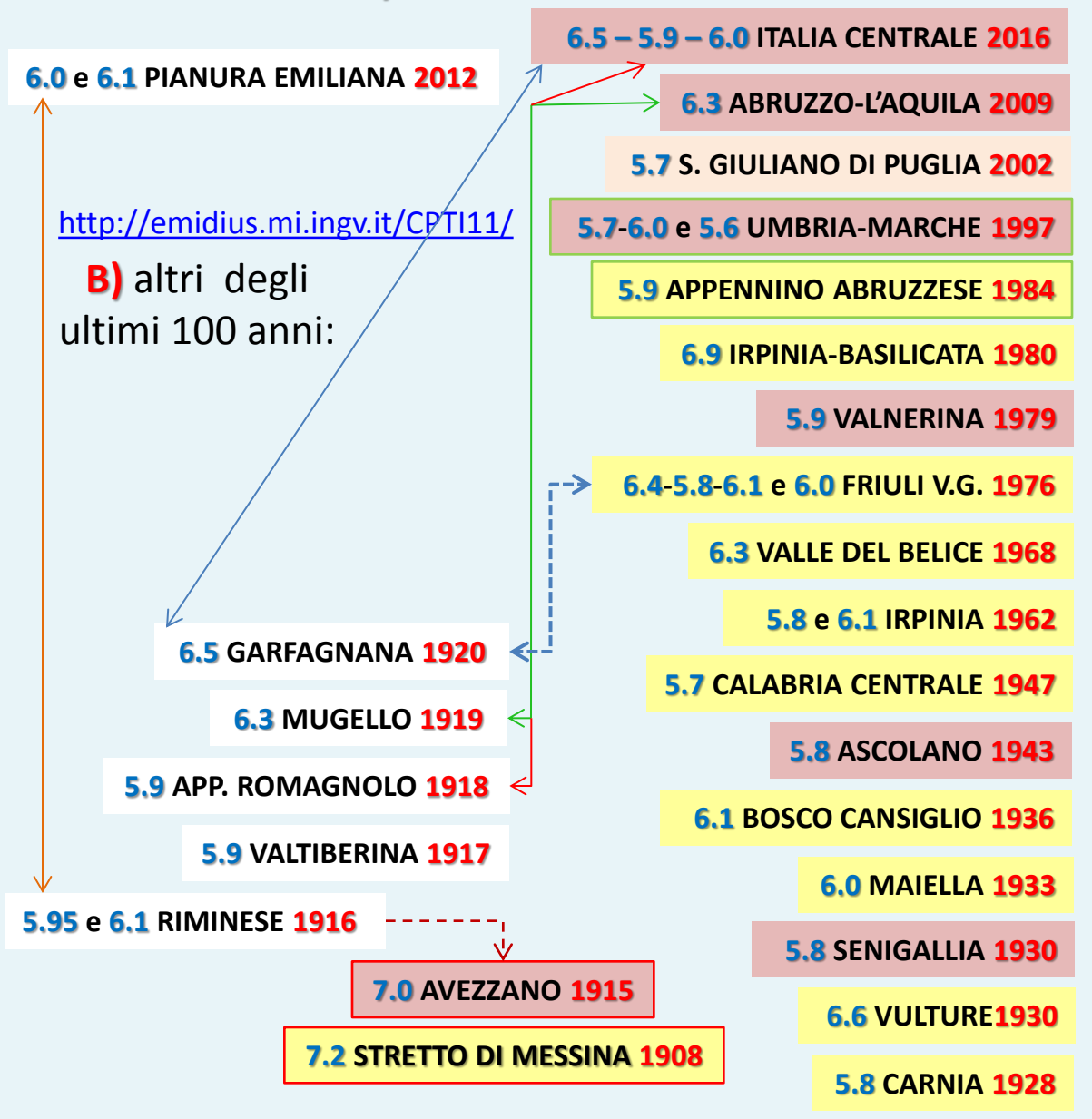
<u>Video-scheda</u> per terremoti (con **M** >= **4.5**) accaduti a scala mondiale nel periodo temporale dal 1-1-2010 al 1-5-2013 [filmato di 9'57'']



Valenza interregionale della Rete

motivata dai terremoti più significativi ($M_w > 5.5$)

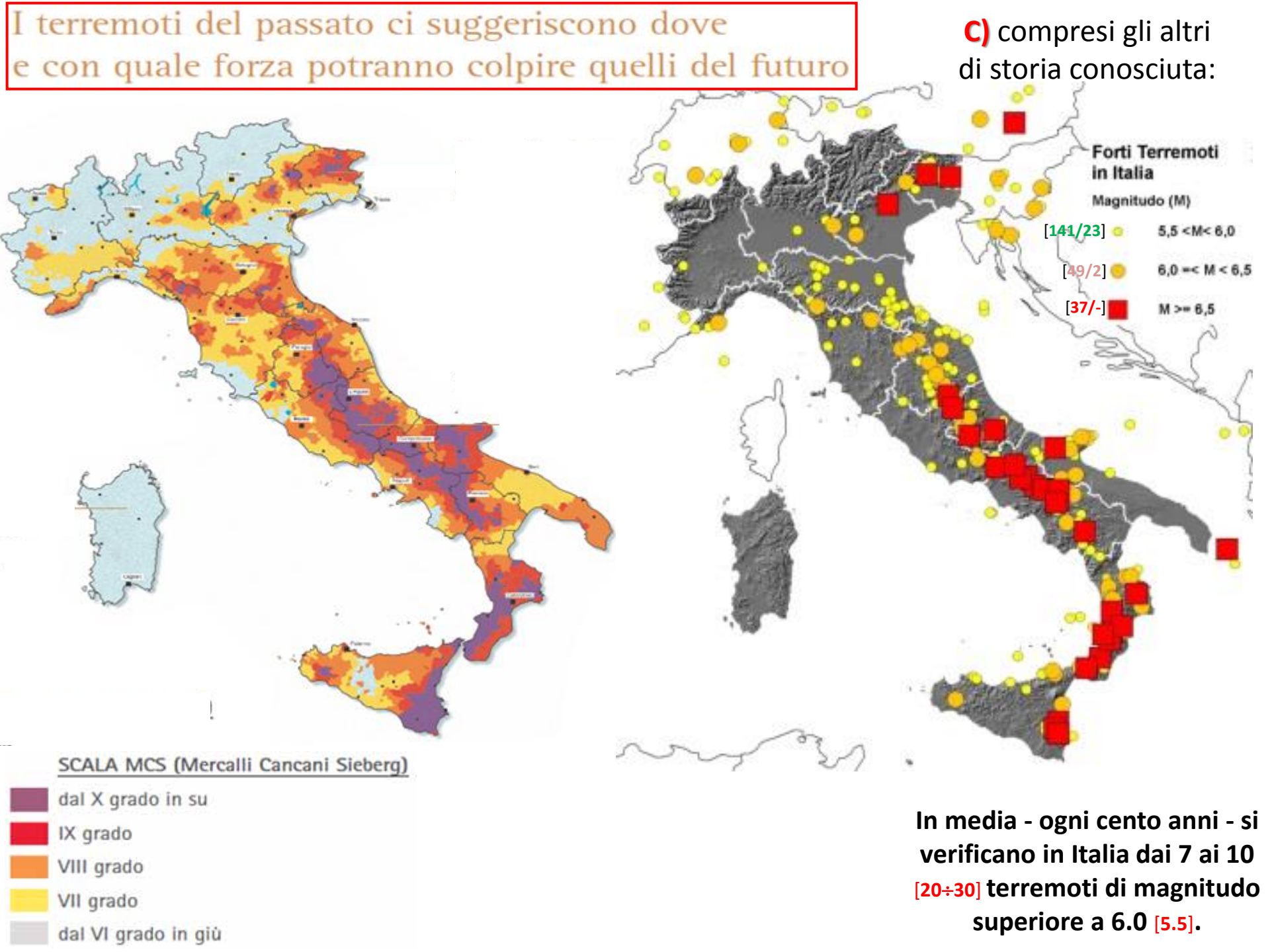
A) i più recenti:





Il primo obiettivo è quello di favorire lo scambio di esperienze e la circolazione di buone pratiche progettate all'interno degli Istituti aderenti, compresa la produzione di materiale didattico e laboratoriale ...











... Abruzzo 2009; Emilia 2012; Appennino Centrale 2016... e poi?

Una domanda inquietante ... MA REALISTICA

- [...] tutte le zone di alta sismicità del nostro paese sono già oggi da considerare in condizioni di emergenza;
- i tempi disponibili per mettere in atto provvedimenti di difesa in tali zone sono dello stesso ordine di grandezza di quelli necessari per la ricostruzione delle zone colpite dall'ultimo terremoto.

Questo è l'insegnamento che deriva dalla storia sismica della penisola! Il problema deve dunque essere affrontato in termini generali. [...]

[...] Nella prospettiva di un intervento generalizzato, poiché non è pensabile di provvedere in tempi brevi all'adeguamento antisismico delle costruzioni esistenti in tutte le zone di alta sismicità, si tratta in ogni caso di una corsa contro il tempo, con interventi guidati da accurati studi per la scelta delle priorità. Gli interventi si riveleranno certamente, prima o poi, utili; potrebbero risultare preziosi anche in tempi non molto lontani.

Sarà comunque indispensabile che il Paese, a tutti i livelli, dalla classe politica, alle forze sociali, agli organi di informazione, ai singoli cittadini prenda definitivamente coscienza che i terremoti sono una componente costante della vita nazionale, facendo crescere la consapevolezza che è possibile, purché lo si voglia, difendersi dai terremoti, pur nella contestuale precisazione che non sono possibili interventi miracolistici, in quanto non si ribaltano in pochi anni secoli di arretratezza e di abbandono. [...]

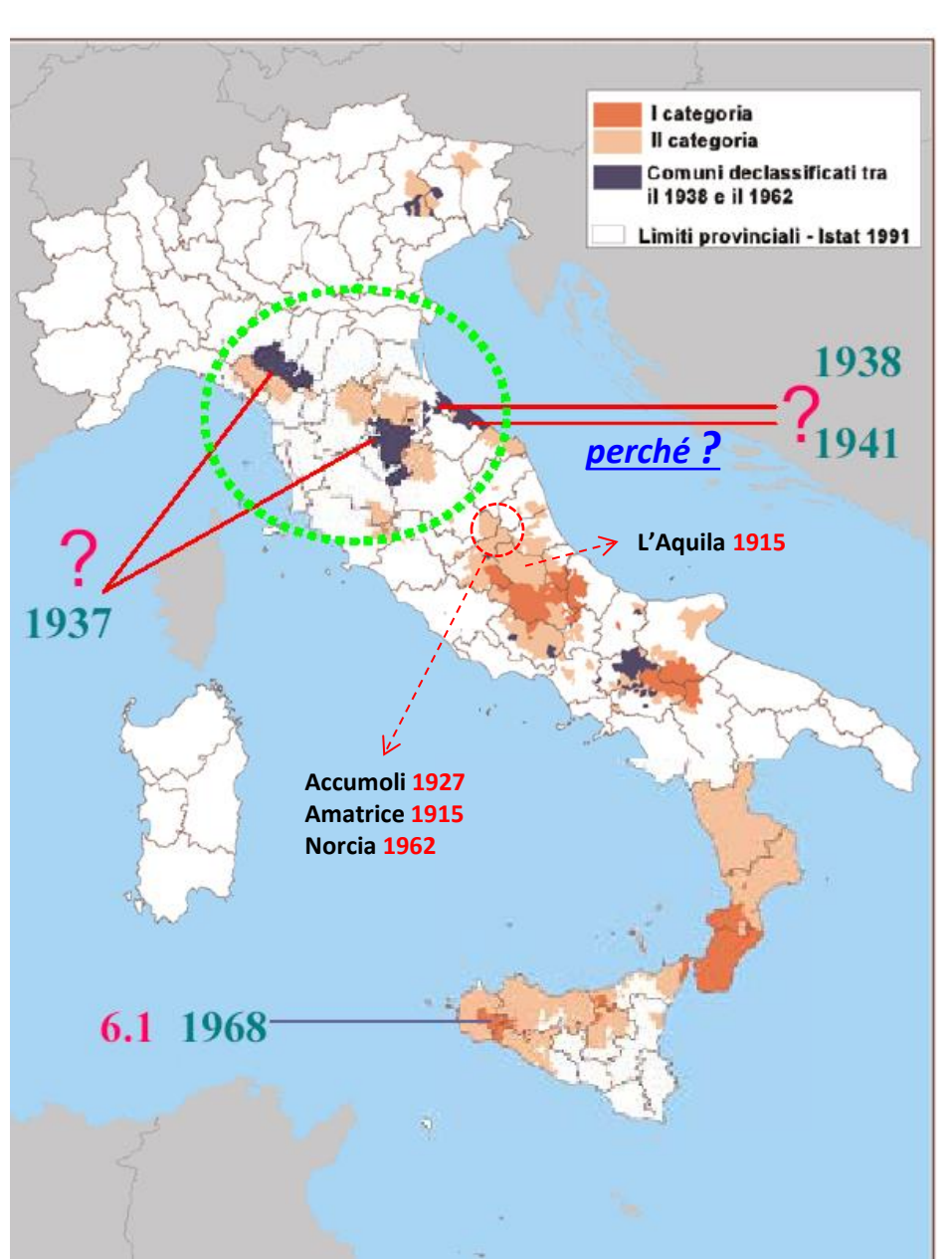


Frasi estratte da un documento (gennaio 1981) del "Progetto Finalizzato Geodinamica" del C.N.R.

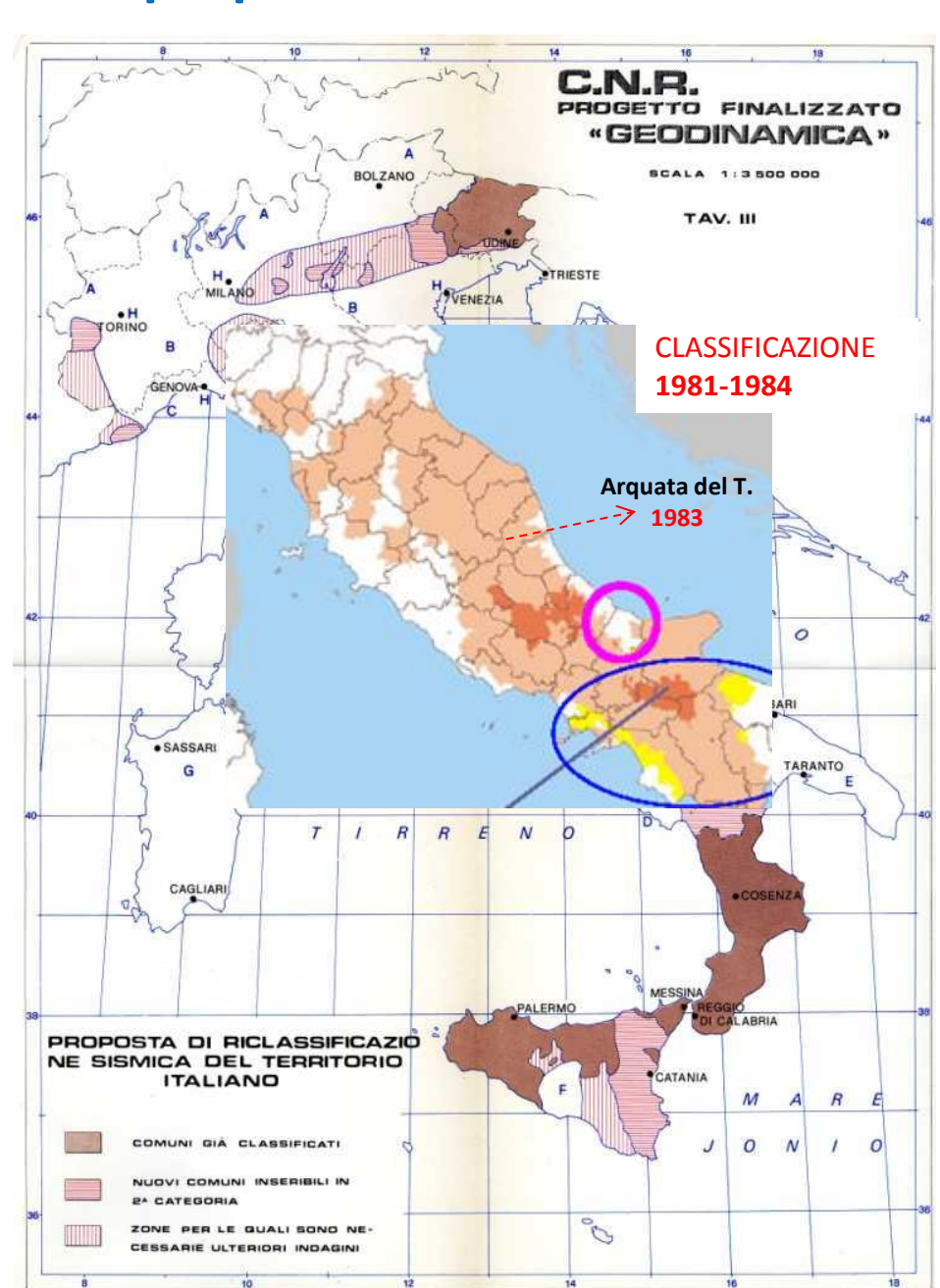
Giuseppe Grandori

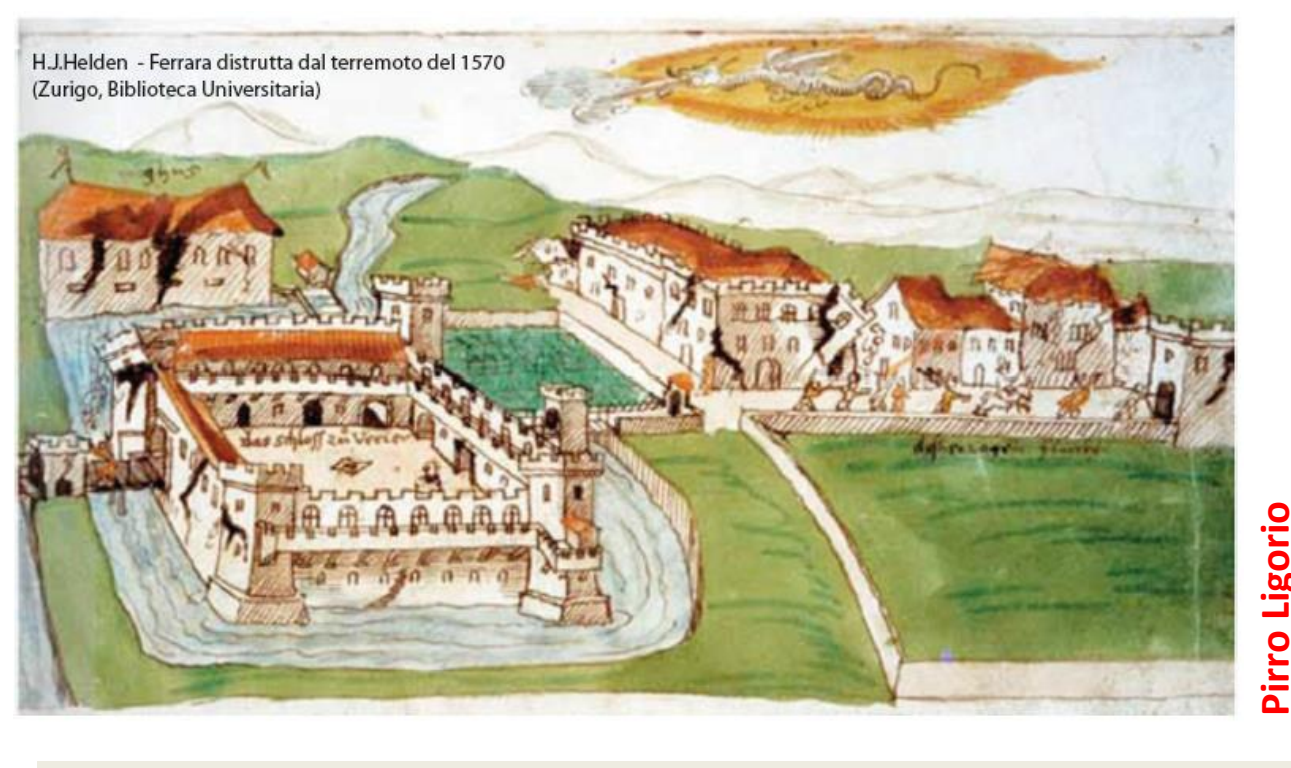
La classificazione alla fine del 1975

con validità estesa fino al 1981÷1984

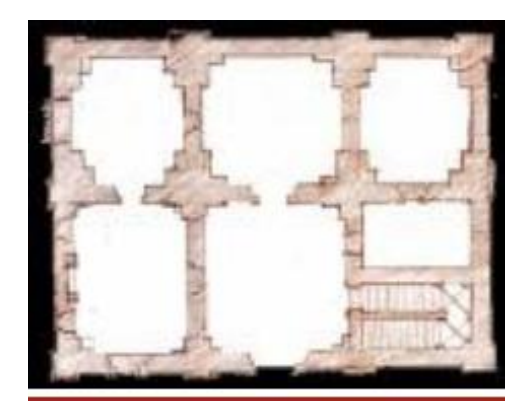


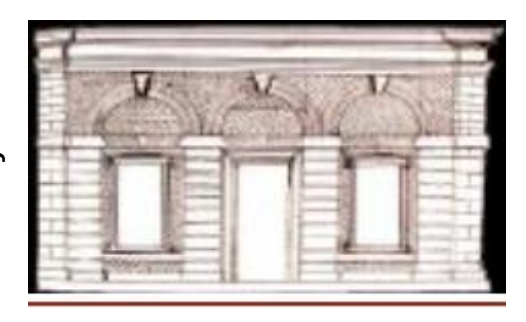
La proposta P.F.G. – C.N.R. 1981





«**Libro, o Trattato de' diversi terremoti**» Pianta e facciata di una casa antisismica





EFFETTI SISMICI, STORICI E ATTUALI, PER TERREMOTI IN EMILIA-ROMAGNA ANCHE CON CENNI A VICENDE AMMINISTRATIVE SULLE SCELTE DI CLASSIFICAZIONE SISMICA

La memoria del terremoto: il sisma di Ferrara del 1570 (pdf, 2,04 MB), un testo dell'epoca e due articoli, tratti da: Ferrara. Voci di una città – dic. 2010 e la Repubblica – 9 ago. 2015.

RIMINI – PESARO: accanto alla "storia sismica" quale "storia amministrativa"? (pdf, 1,98 MB).

Due immagini a confronto sull'evoluzione idrografica del Po in diverse epoche storiche, estratte da: «L'evoluzione idrografica e ambientale della pianura ferrarese negli ultimi 3.000 anni», Marco Bondesan, su Storia di Ferrara, Corbo 2001

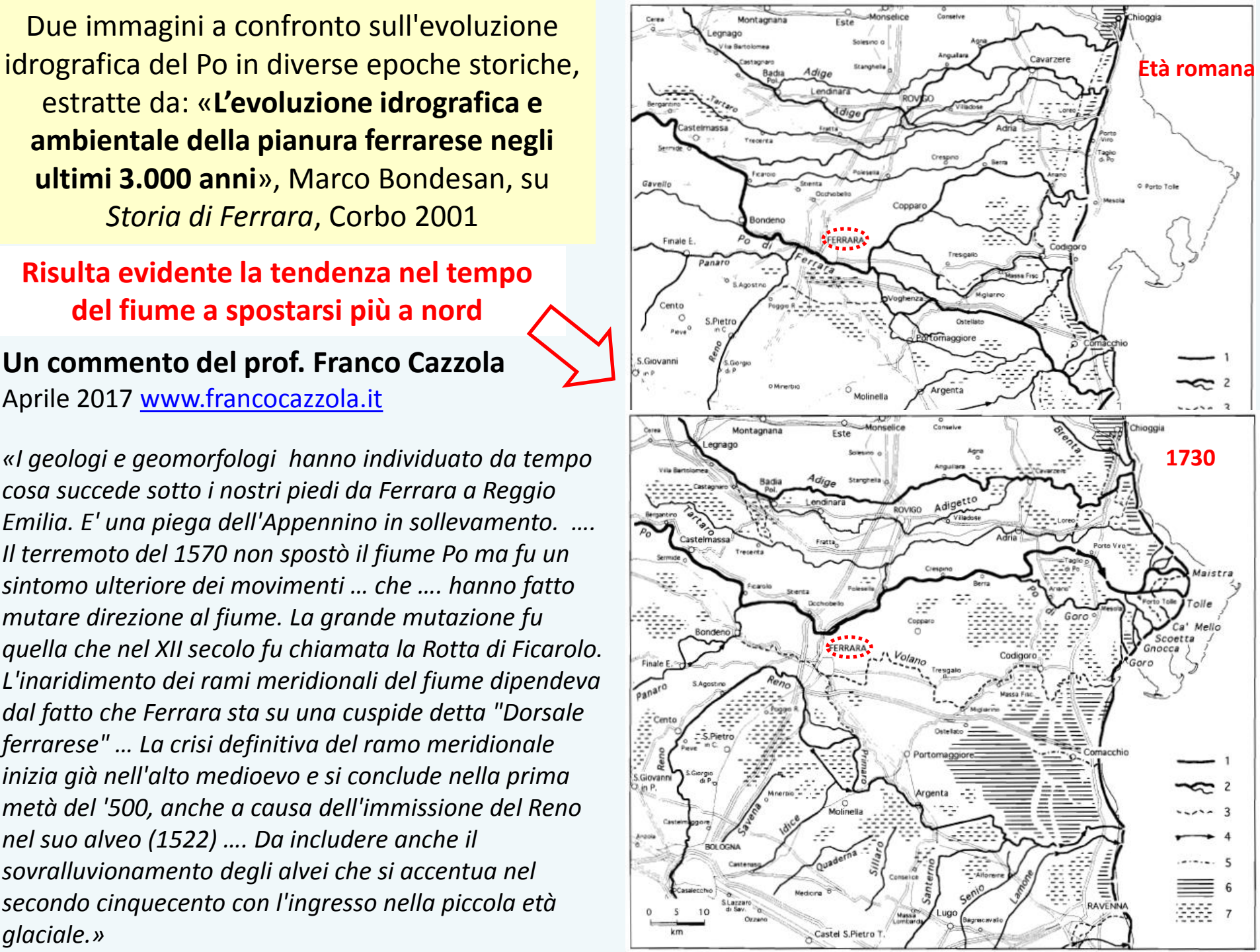
Risulta evidente la tendenza nel tempo del fiume a spostarsi più a nord

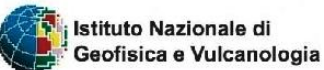
Un commento del prof. Franco Cazzola

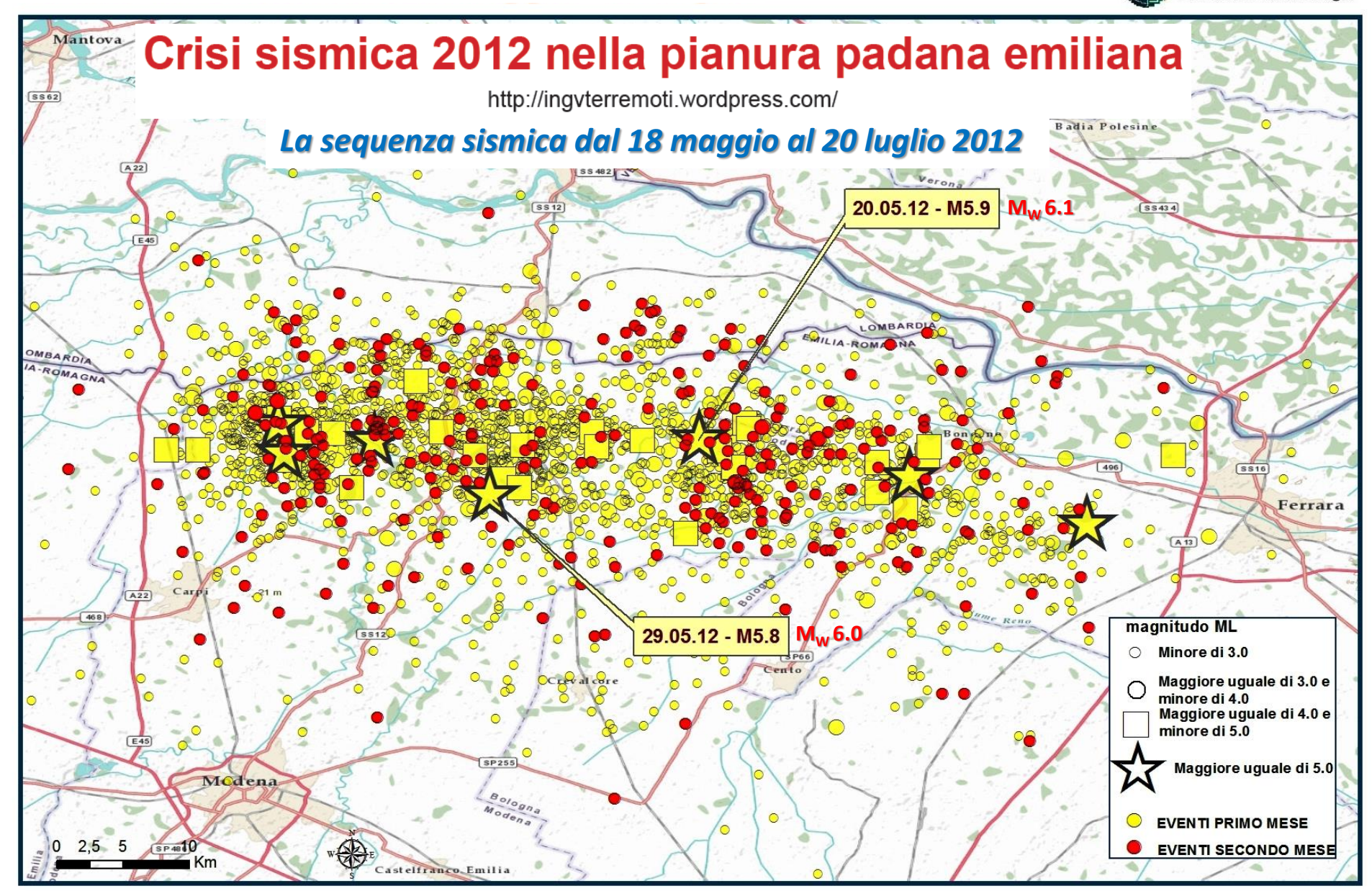
Aprile 2017 www.francocazzola.it

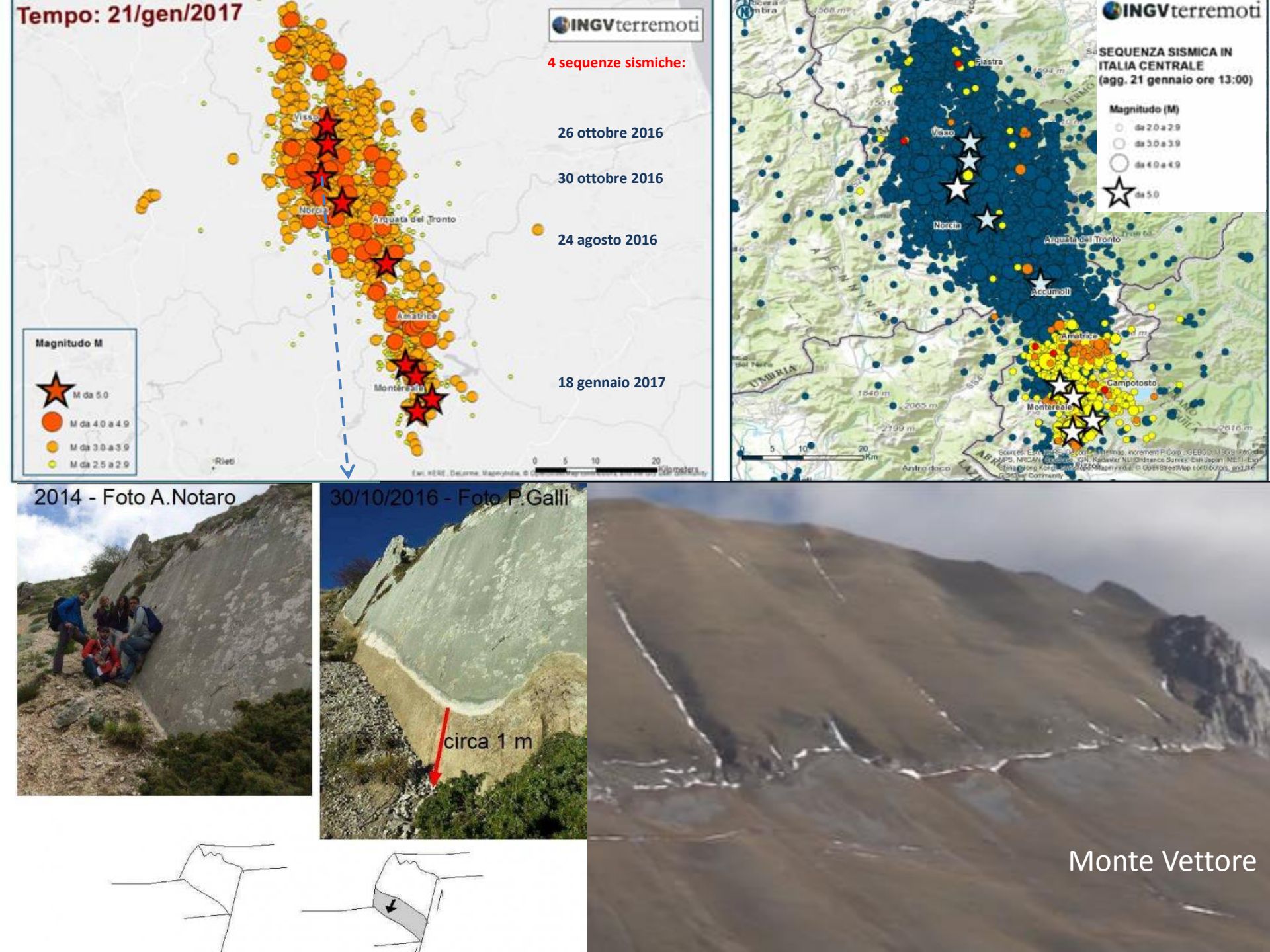
cosa succede sotto i nostri piedi da Ferrara a Reggio Emilia. E' una piega dell'Appennino in sollevamento. Il terremoto del 1570 non spostò il fiume Po ma fu un sintomo ulteriore dei movimenti ... che hanno fatto mutare direzione al fiume. La grande mutazione fu quella che nel XII secolo fu chiamata la Rotta di Ficarolo. L'inaridimento dei rami meridionali del fiume dipendeva dal fatto che Ferrara sta su una cuspide detta "Dorsale ferrarese" ... La crisi definitiva del ramo meridionale inizia già nell'alto medioevo e si conclude nella prima metà del '500, anche a causa dell'immissione del Reno nel suo alveo (1522) Da includere anche il sovralluvionamento degli alvei che si accentua nel secondo cinquecento con l'ingresso nella piccola età

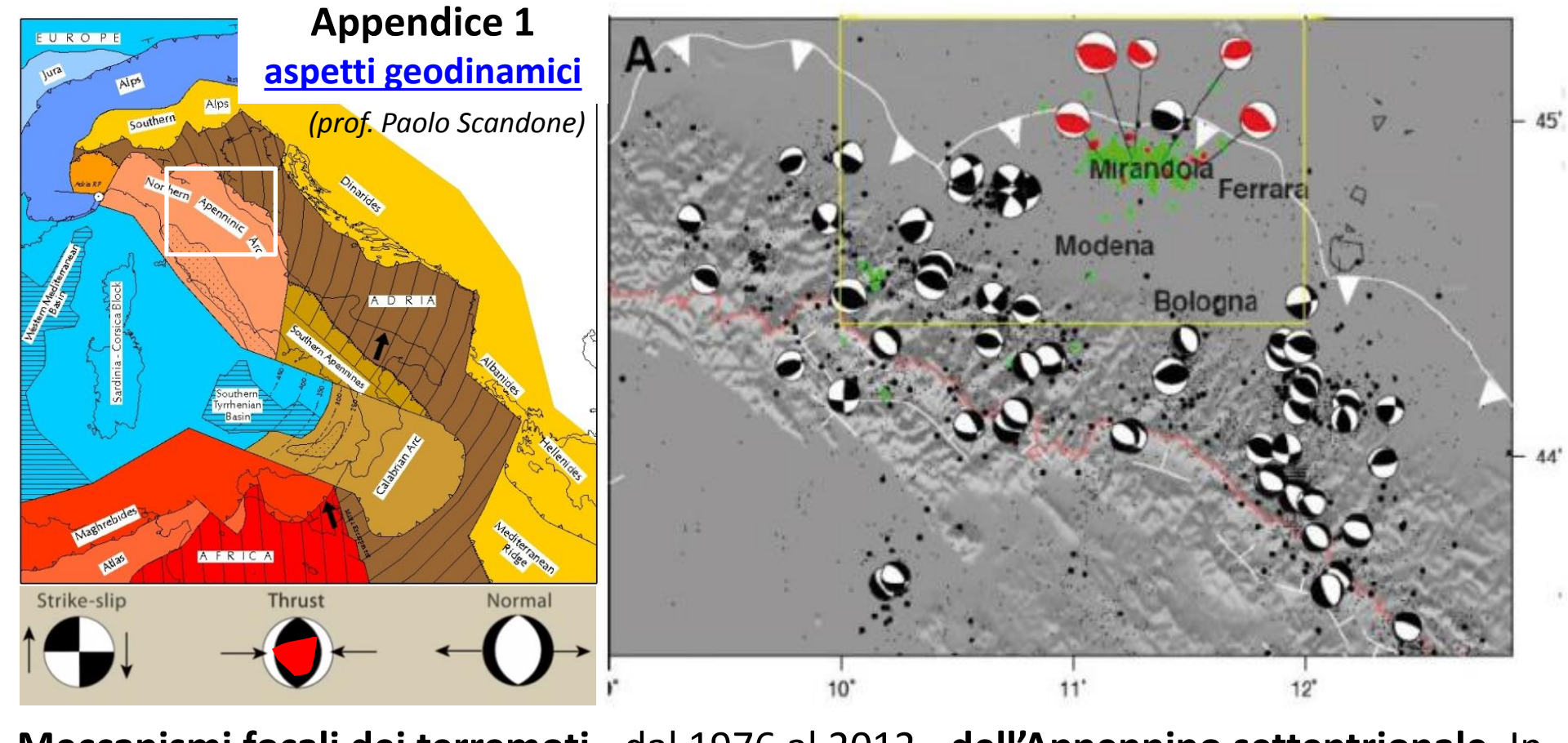
glaciale.»





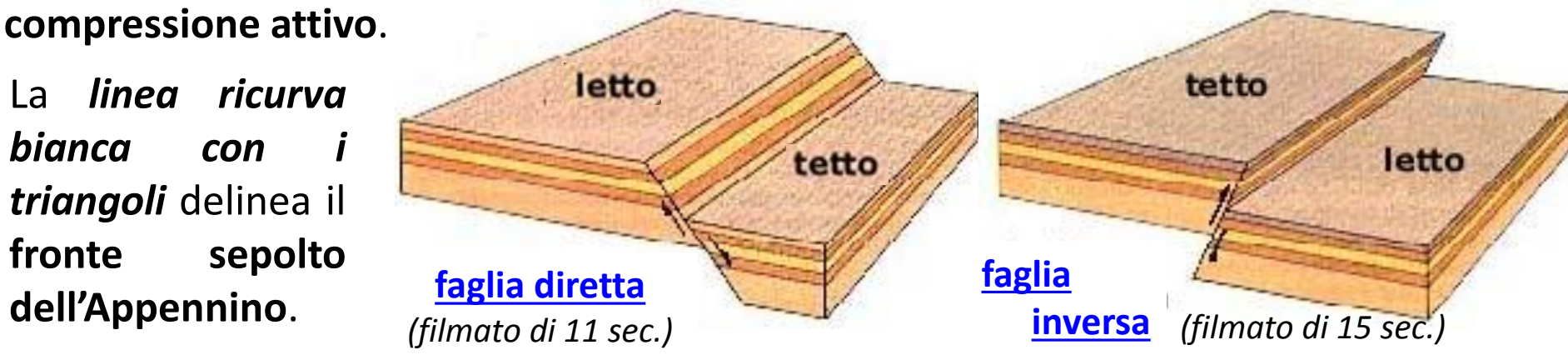


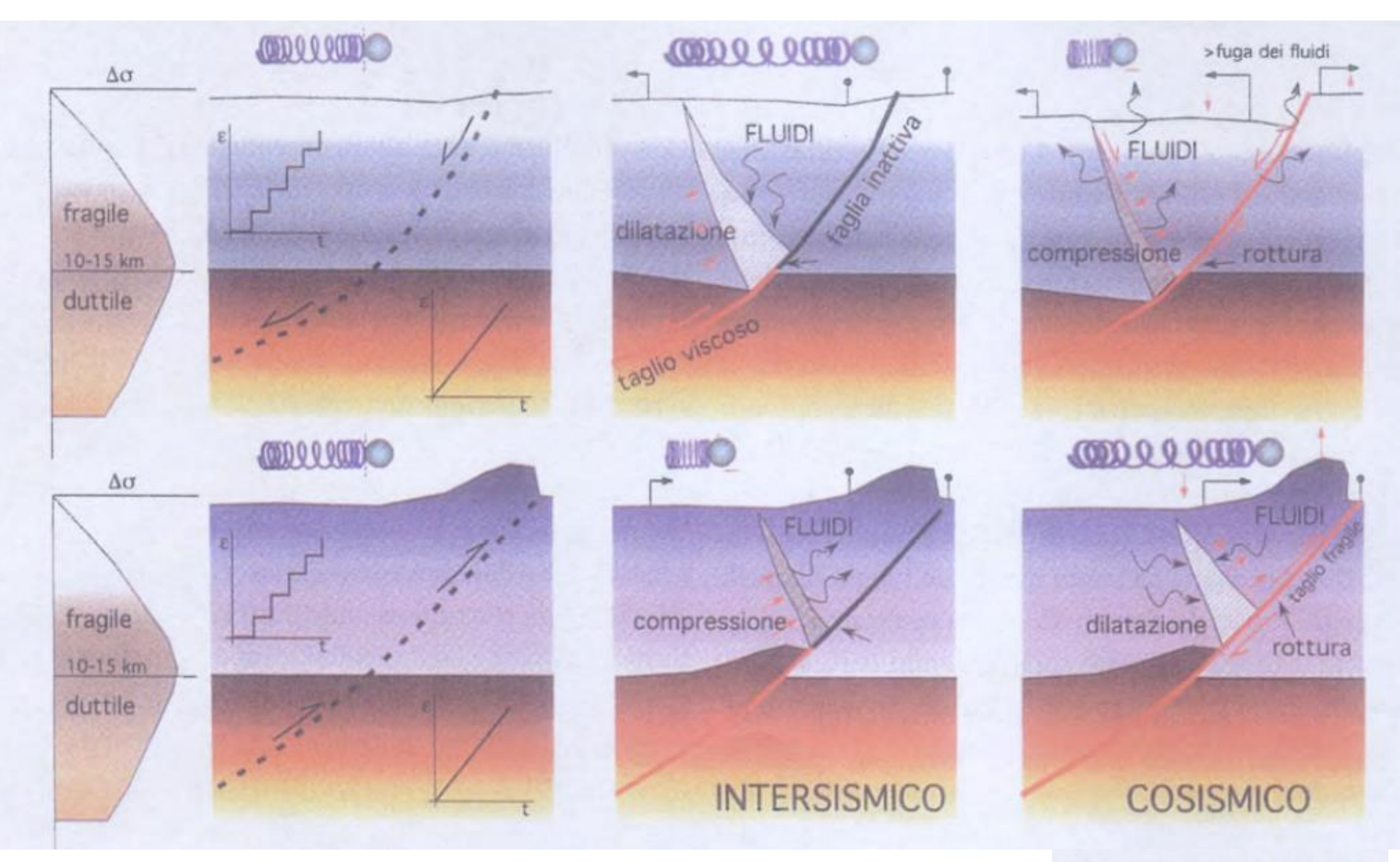




Meccanismi focali dei terremoti - dal 1976 al 2012 - dell'Appennino settentrionale. In rosso quelli del 2012 nella pianura padana emiliana che evidenziano un fenomeno di

linea ricurva La bianca con triangoli delinea il sepolto fronte dell'Appennino.





Faglia diretta (crosta in distensione) e **faglia inversa** (crosta in compressione) come illustrate nella Fig. 6 riportata – con relativo commento – nell'articolo:

Nuova Secondaria – n. 6 2014 – Anno XXXI

Terremoti

Carlo Doglioni

Durante il processo di fratturazione vengono emesse le onde sismiche

Undisturbed
Expansion Expansion material

Compression Compression Compression

Le onde P (o Primarie) sono le più veloci: 6,2-8,2 km/s

Primary wave

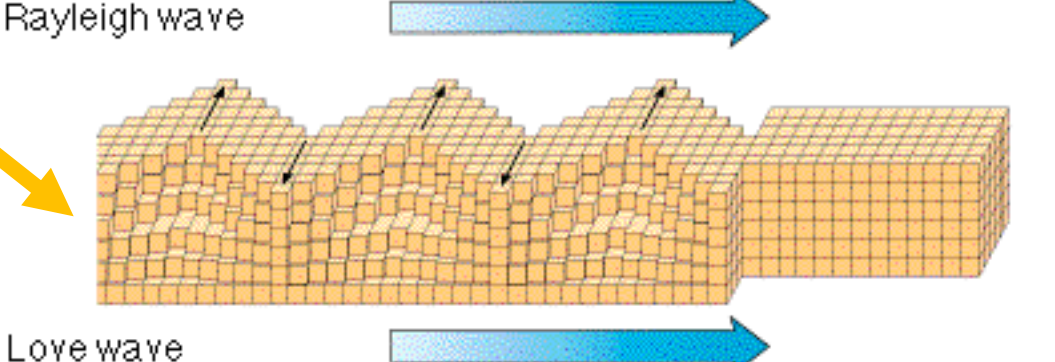
Direction of wave movemen

Le onde S (o Secondarie) sono meno veloci: 3,6-4,7 km/s e non si propagano nei fluidi

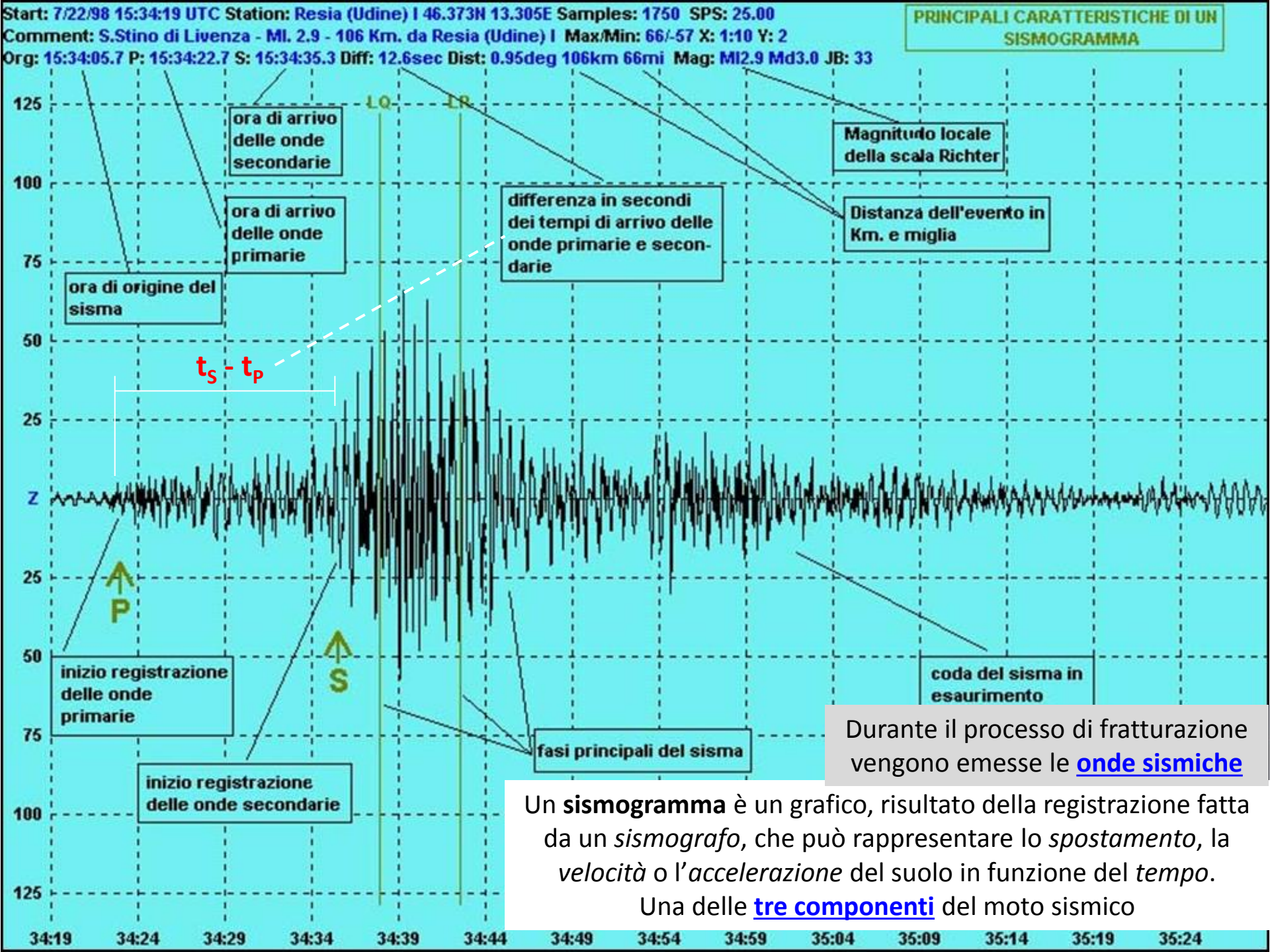
Le onde P ed S sono dette onde di volume perché si propagano all'interno della Terra

Secondary wave

Le onde di Rayleigh (2,7 km/s) e le onde di Love (3 km/s) sono invece onde superficiali, che si propagano cioé solo lungo la superficie terrestre



Appendice 2 <u>animazione onde sismiche</u>





Gli effetti di un terremoto sono gli stessi ovunque?



Lo scuotimento può variare notevolmente anche a piccole distanze, perché dipende molto dalle condizioni locali del territorio, in particolare dal tipo di terreni e dalla forma del paesaggio (valli, montagne, etc.), dunque – a parità di vulnerabilità delle costruzioni – anche gli effetti spesso sono assai diversi.

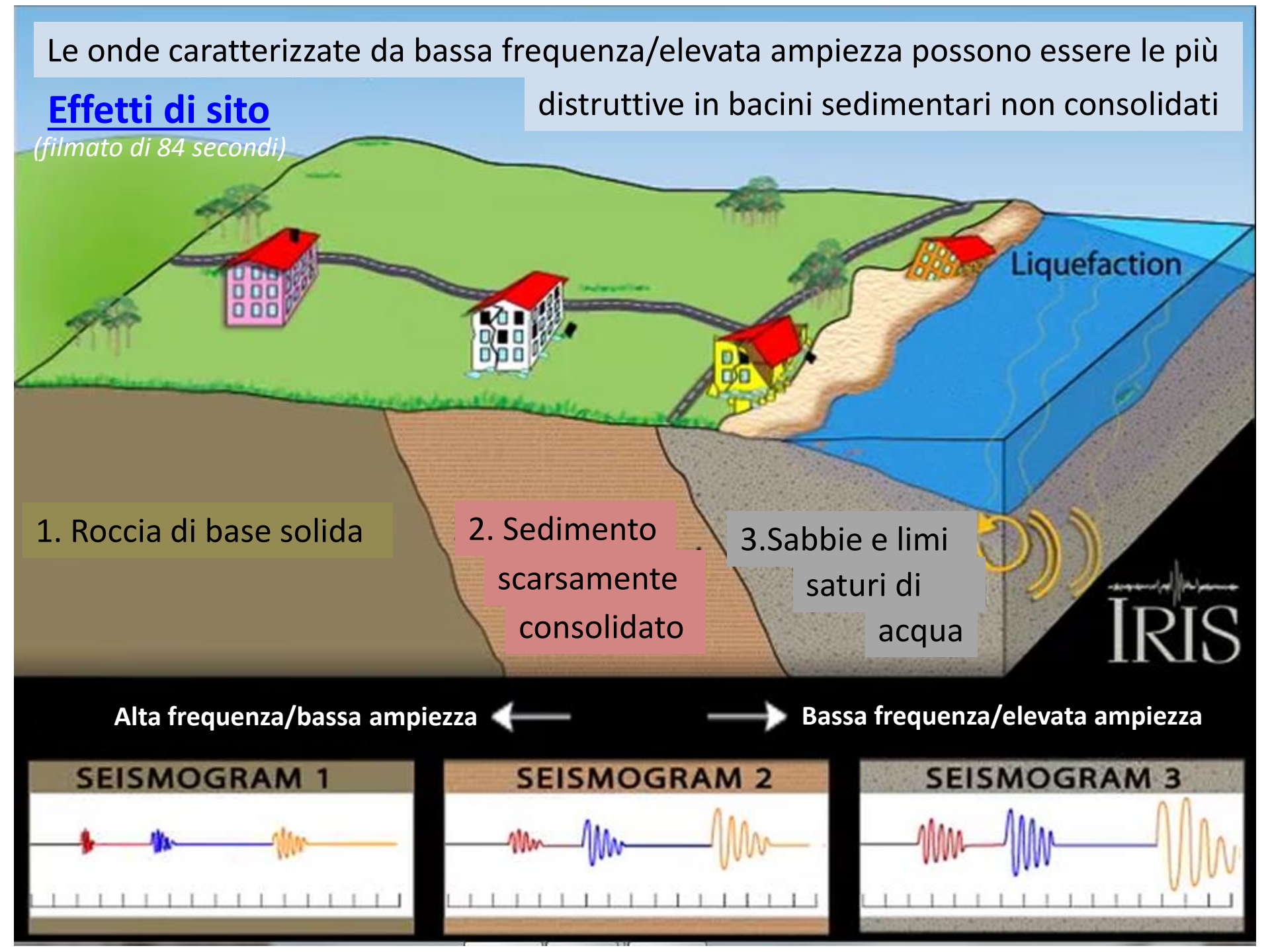


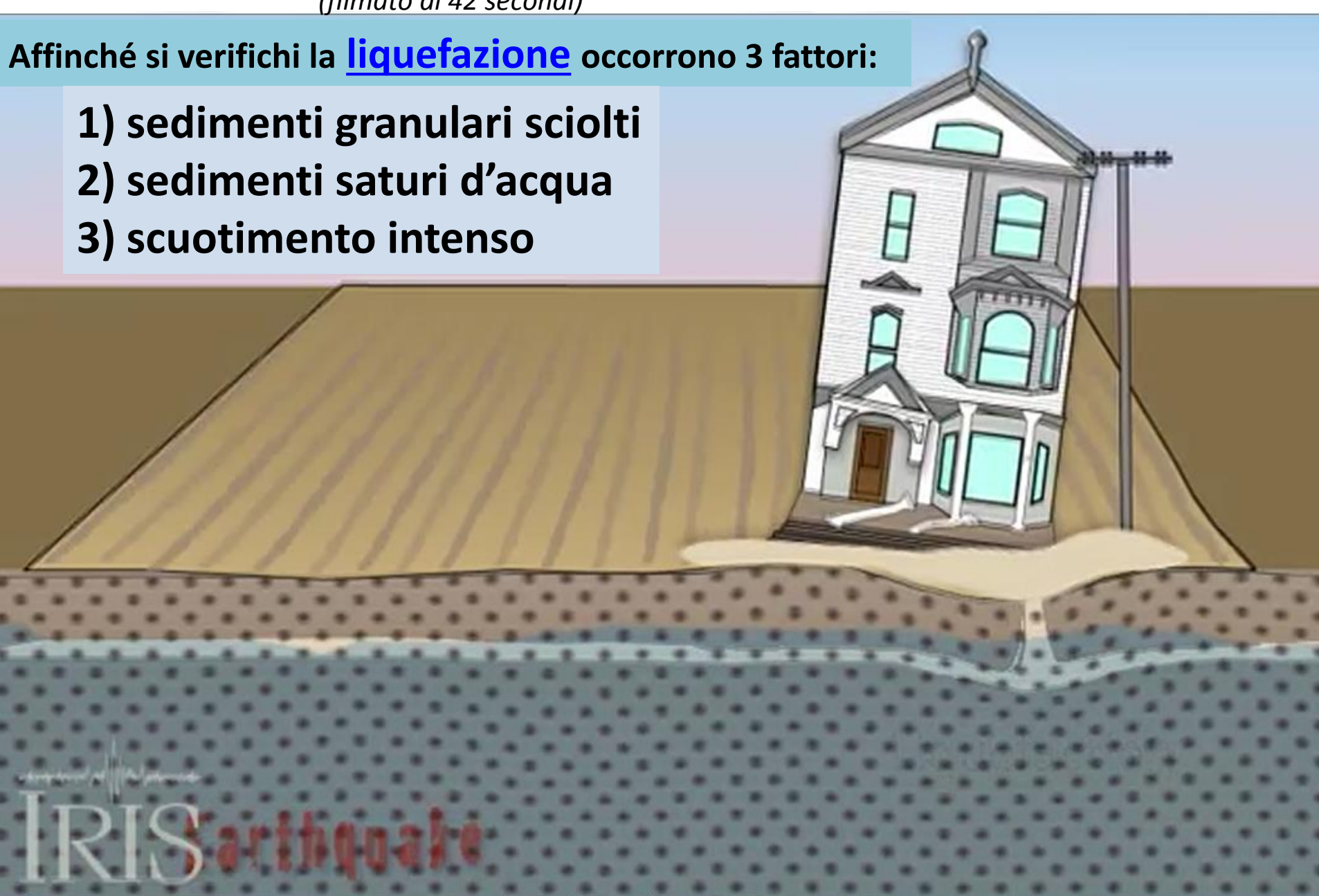
In genere, lo scuotimento degli edifici è minore sui terreni rigidi (roccia)

e si incrementa dove i terreni sono soffici, * [CATEGORIE DI SOTTOSUOLO]

Gli effetti distruttivi di un terremoto si incrementano se le case sono costruite su rocce poco consolidate in cui le onde sismiche rallentano e aumentano in ampiezza e durata.

Lo scuotimento si incrementa anche sulla cima di rilievi e lungo i bordi delle scarpate e dei versanti ripidi (CONDIZIONI TOPOGRAFICHE)

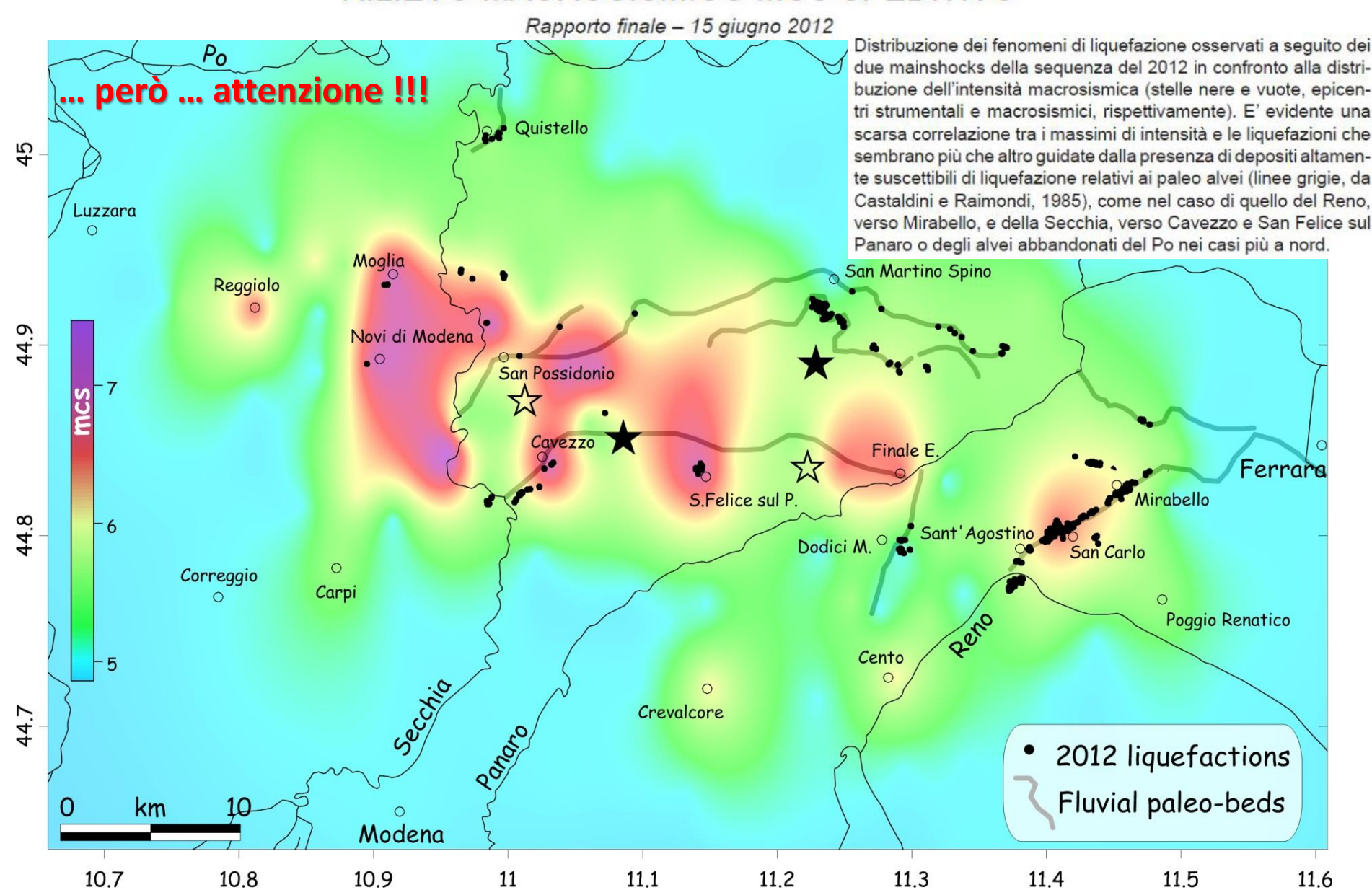




Crisi sismica 2012 nella pianura padana emiliana

http://www.protezionecivile.gov.it/jcms/it/rischio_sismico.wp

RILIEVO MACROSISMICO MCS SPEDITIVO





I fattori del rischio sismico

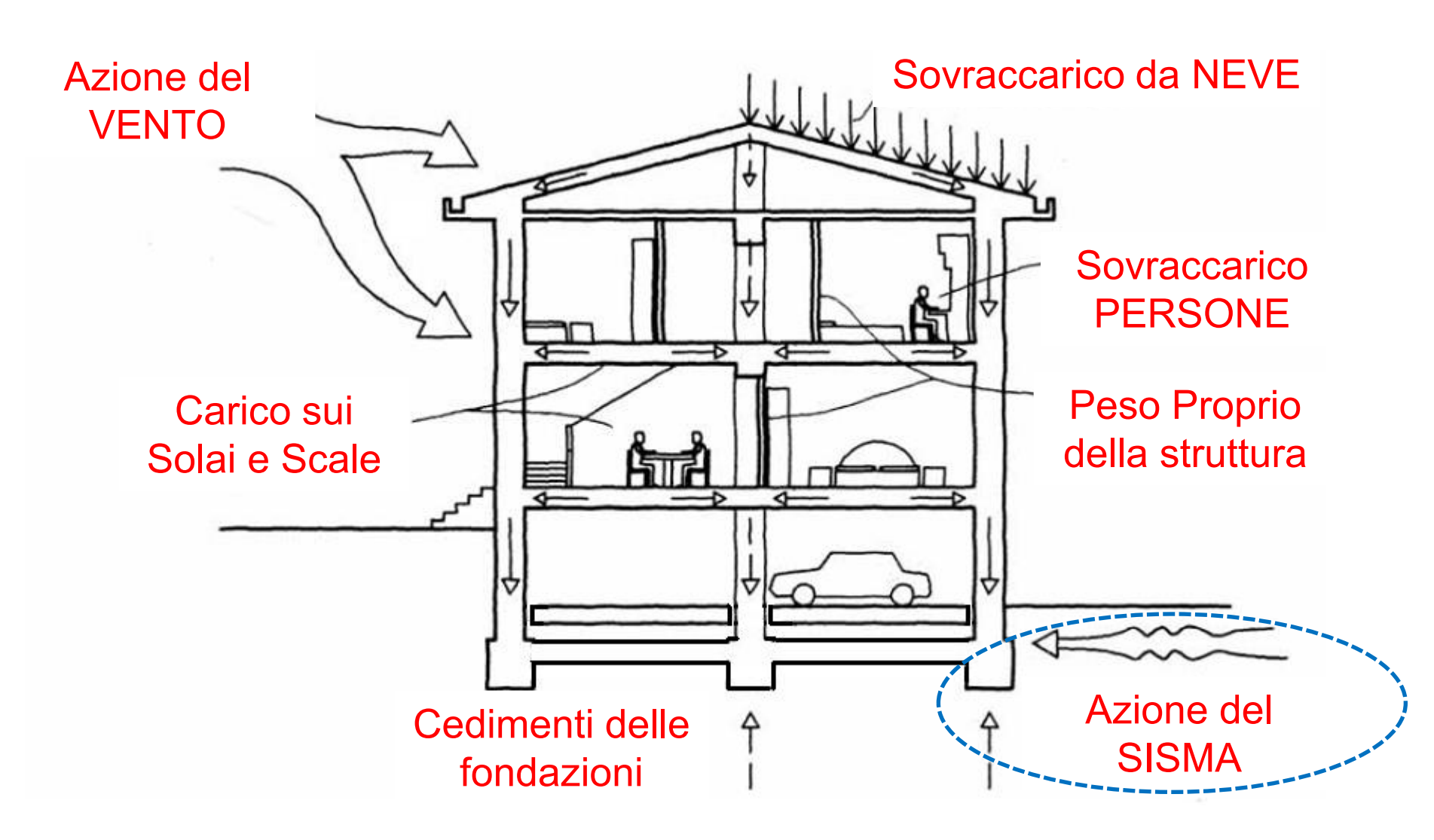
Il RISCHIO non è mai nullo: si può e si deve ridurre!

Approccio consapevole è chiedersi: che cosa RISCHIO? quanto RISCHIO?





Le azioni sulle strutture



FORZE DI INERZIA

(filmato di 27 secondi)

da:

Riparare Rafforzare Prevenire

Regione Umbria 1985



SABATO 19 OTTOBRE 2013

BOLOGNA

UKKUNTAUA

Scossa principale 30 ottobre 2016 Mw 6.5

I DANNI Nelle due immagini

immagini i danni provocati dall'incidente, quando il bus ha frenato molte persone sono cadute o sono state travolte dalle schegge dei divisori in plexiglas che



Frenata improvvisa, 21 feriti e panico sul bus

si sono infranti

L'incidente in via Irnerio per evitare un'auto. Traffico bloccato, nessuno è grave

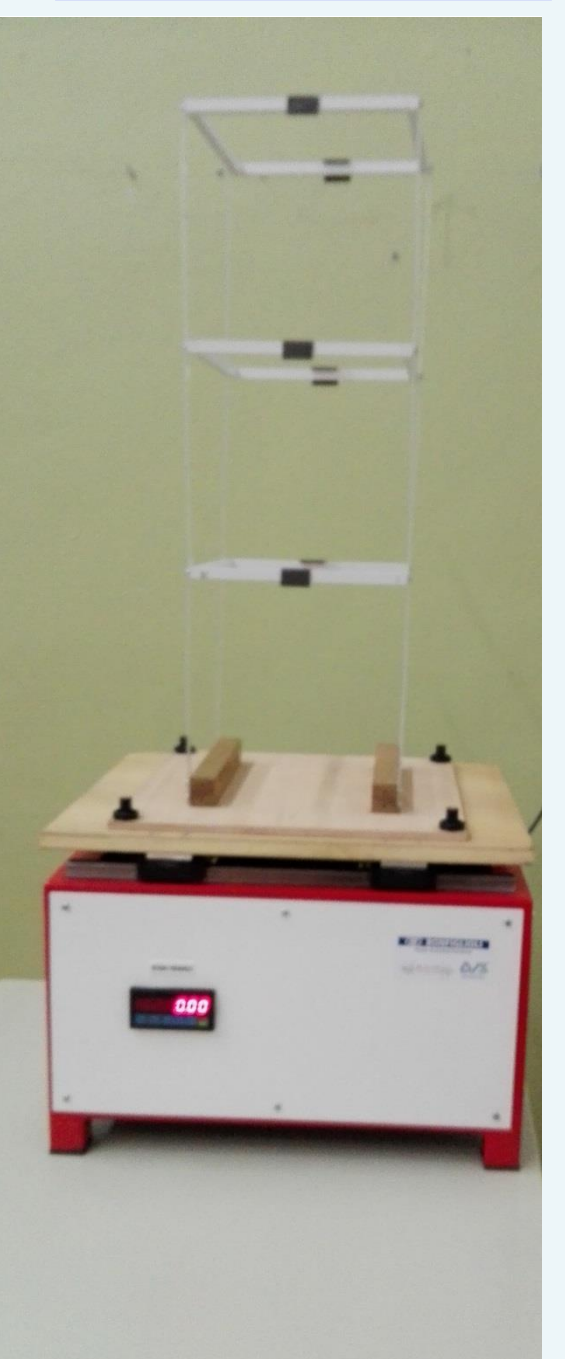


TAVOLA VIBRANTEper una iniziale informazione didattica

Il terremoto, quale evento naturale, raro ma probabile nell'arco di vita di una costruzione, si evidenzia con improvviso e alternato movimento del terreno (per una durata, a volte di pochi secondi, in genere non superiore al minuto) e, quindi, con conseguenti brusche accelerazioni che fanno nascere forze d'inerzia sulle masse presenti ai vari piani (solai) e lungo l'altezza (muri, colonne, etc.) di una costruzione.

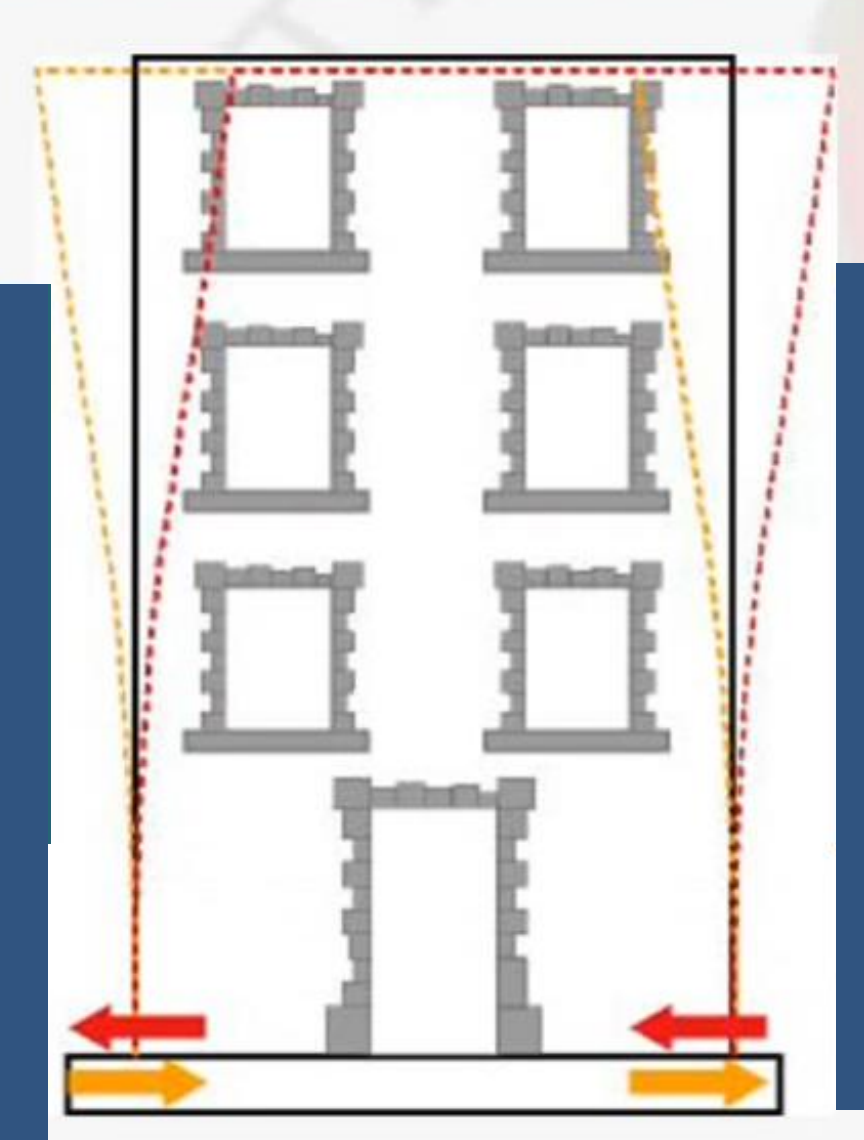
Le sollecitazioni e gli spostamenti provocati sulla struttura di una costruzione sono influenzati dalle caratteristiche della stessa struttura; vale a dire che è la "risposta" della struttura (ai movimenti impressi alla sua base) a definire l'entità e qualità dell'azione sismica e gli eventuali conseguenti danni.

Titolo e prime due frasi del documento CTS revisionato allora dal compianto Prof. Piero POZZATI



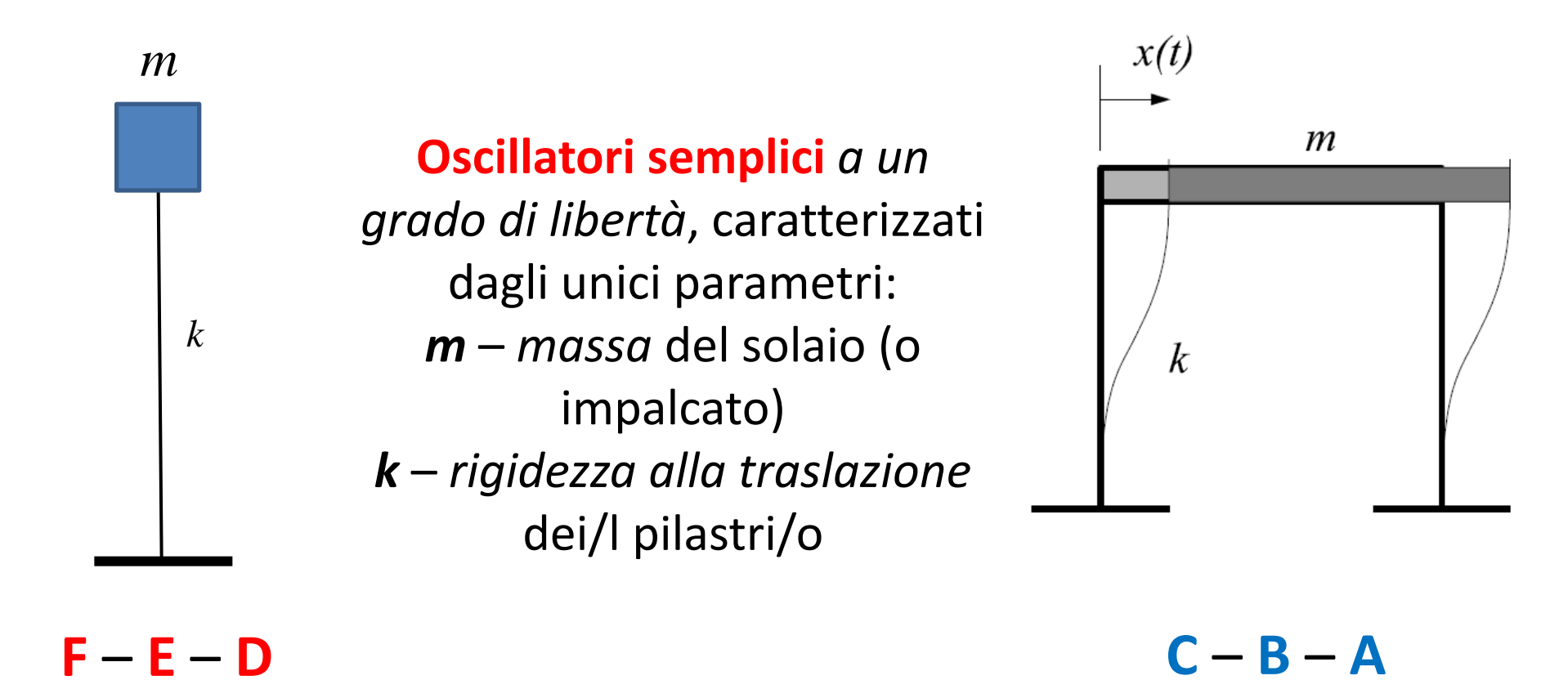
Cosa accade agli edifici durante il terremoto?





Moto ondulatorio

Le fondazioni, quando vengono raggiunte dalle onde sismiche, le trasmettono alla sovrastruttura provocando l'oscillazione dell'edificio. In tale moto alternato la struttura subisce forze di inerzia proporzionali alle masse e quindi ai pesi dell'edificio. Il moto (e cioè la risposta) è regolato dalla rigidezza e dalla massa dell'edificio.



L'oscillatore ha un suo modo naturale di vibrare detto anche modo proprio. Una oscillazione intera (andata e ritorno) si compie in un tempo T_1 chiamato periodo (s). L'inverso del periodo f_1 si chiama frequenza (Hz).



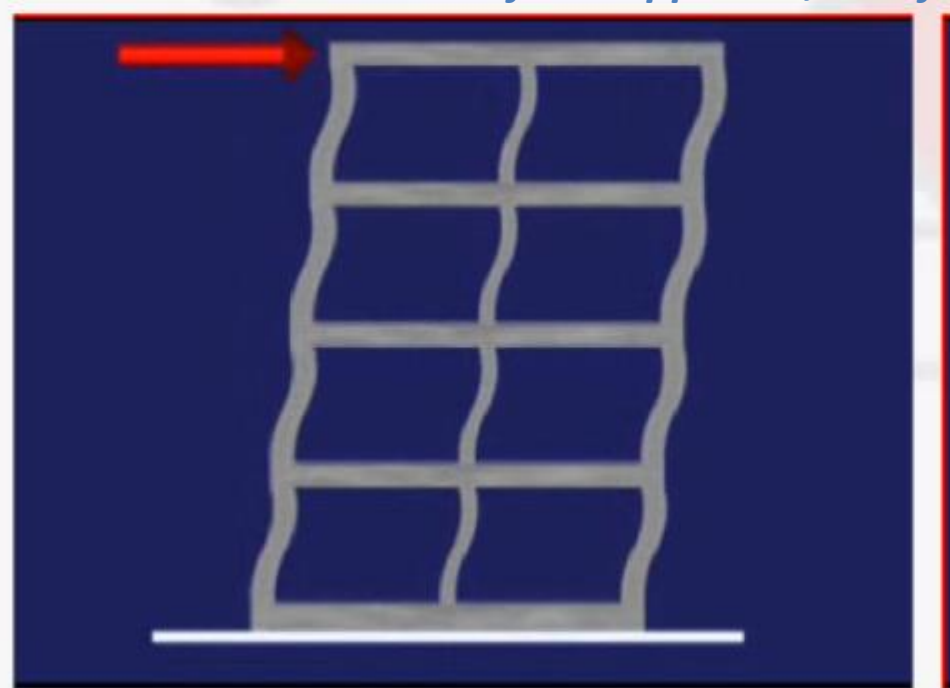
RIGIDEZZA

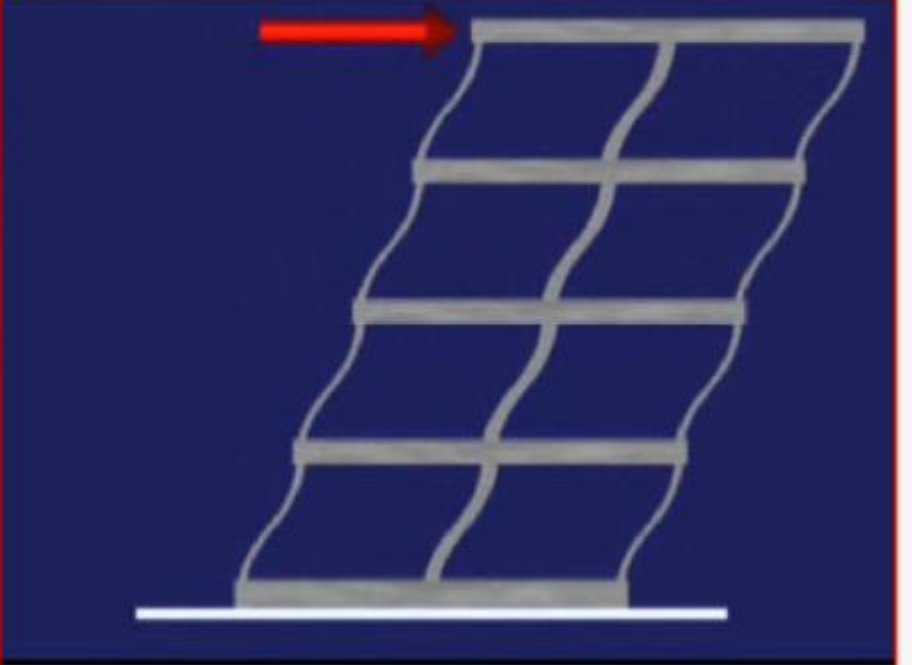


PIU' RIGIDO

MENO RIGIDO

Una struttura è più rigida di un'altra quando, a parità di forza applicata, si deforma in misura minore





La frequenza di oscillazione della struttura (costruzione) aumenta con la sua rigidezza



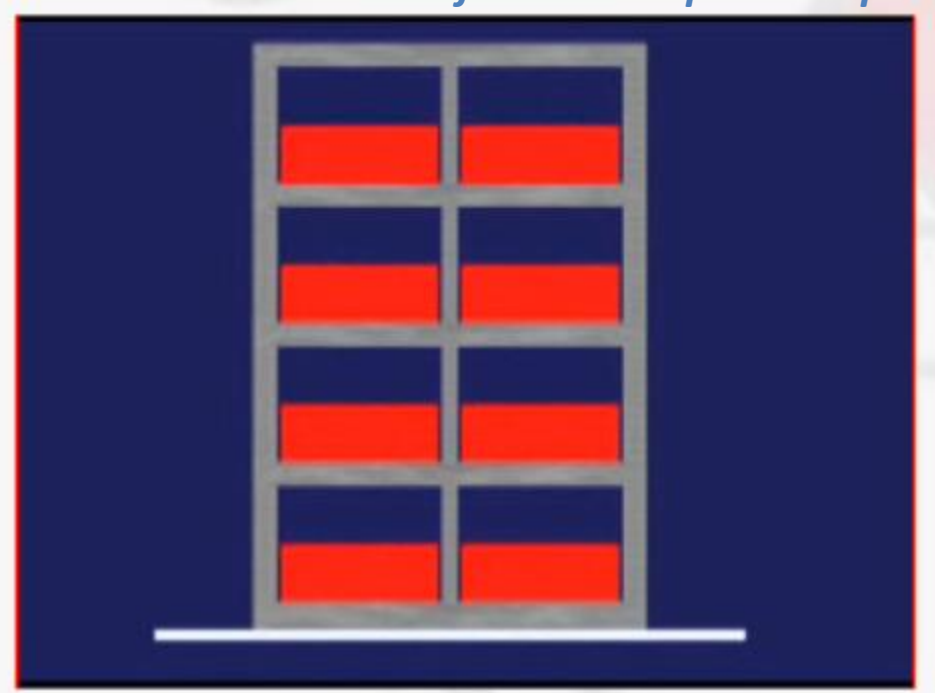
MASSA



CON PIU' MASSA

CON MENO MASSA

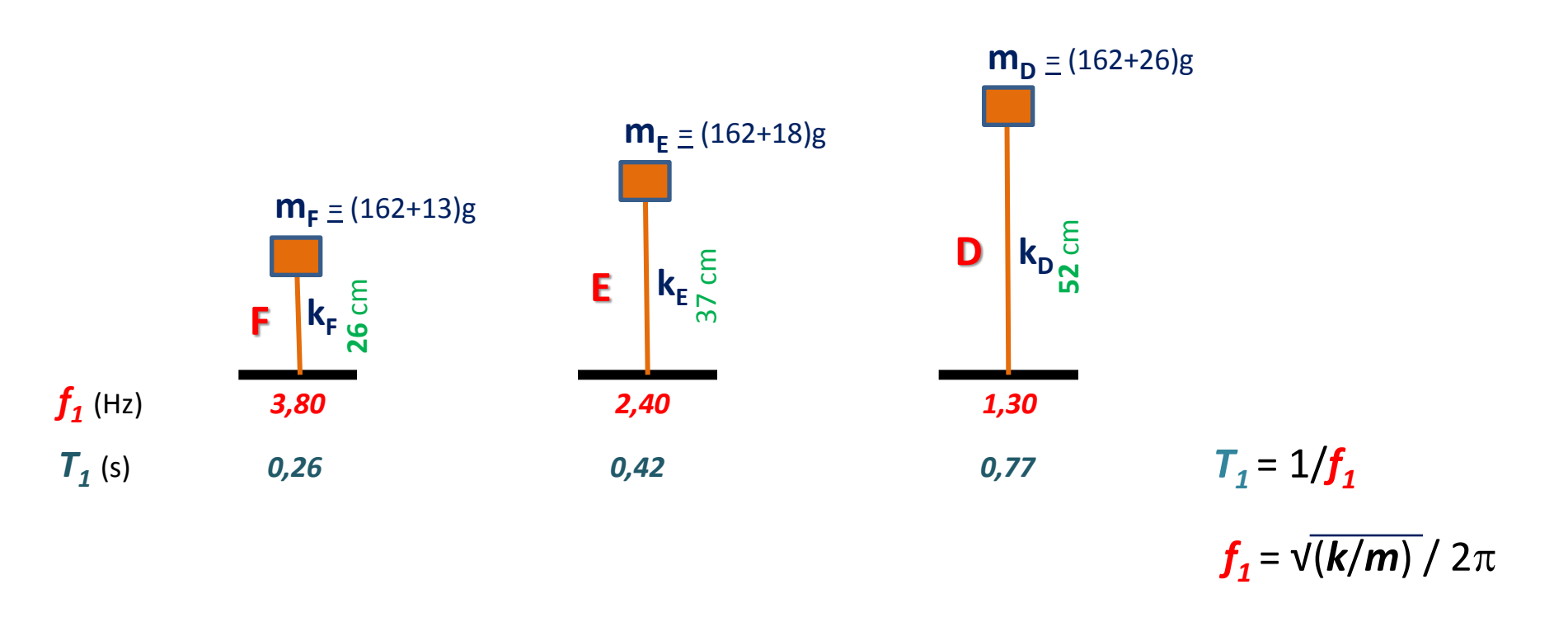
Il terremoto genera accelerazioni che inducono forze tanto più alte quanto maggiore è la massa





La frequenza di oscillazione della struttura (costruzione) diminuisce all'aumentare della massa dell'edificio

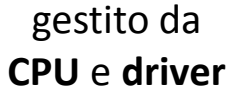
Configurazioni strutturali **regolari** (1 G.d.L.)



$$k_F/k_E \approx 2.4$$

$$k_F/k_D \approx 8$$

Rapporti *approssimativi* tra le RIGIDEZZE flessionali delle colonne





collegato a **vite a ricircolo di sfere** per trasferire moto oscillatorio radiale





Pulpito di comando (filmato di 2'33") con tre selettori ON-OFF per attivare i tre moti a 1/2/4 Hz singolarmente o in combinazione tra loro

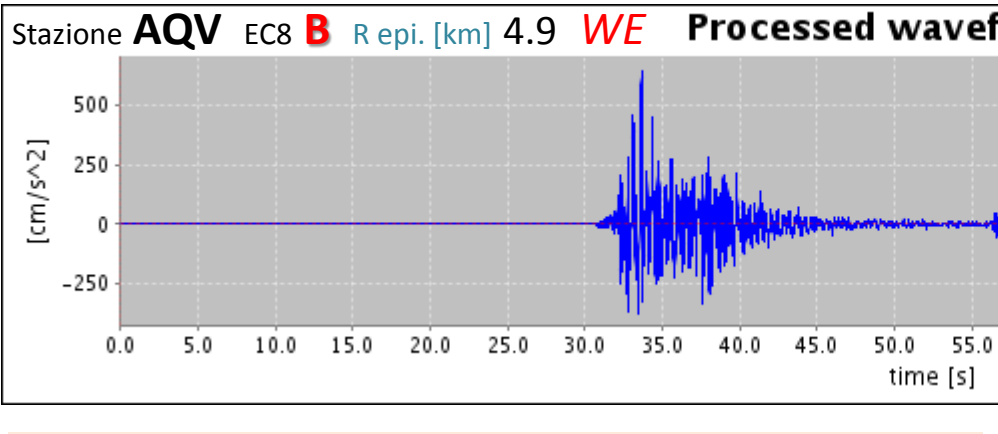
punto, in questo caso della superficie del suolo, nel quale è installato un accelerometro.

[Nell'ESEMPIO AQV è stazione della RAN (Rete Accelerometrica Nazionale)]

ESEMPIO di ACCELEROGRAMMA: grafico della

accelerazione rispetto al tempo in un definito

[L'accelerometro può essere installato anche in un punto di qualsiasi costruzione in esame, ad una certa quota e posizione in pianta, ma l'accelerogramma avrà forma diversa in funzione della «*risposta della struttura*»]

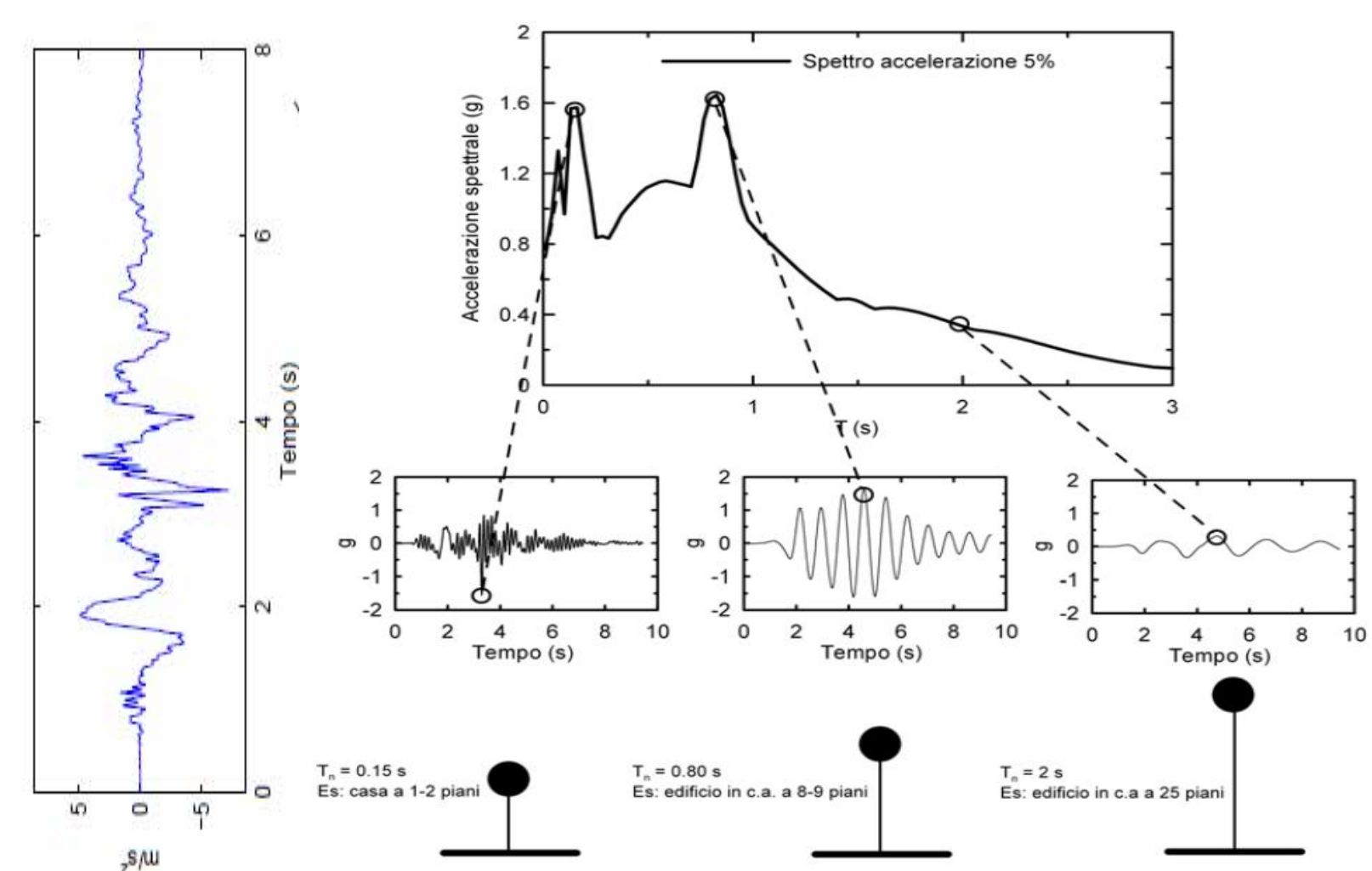


[L'Ufficio rischio sismico e vulcanico del DPC gestisce anche l'**OSS** (**O**sservatorio **S**ismico delle **S**trutture): ESEMPI nel sopra citato documento CTS – RER del 4 maggio 2011]

Un qualsiasi ACCELEROGRAMMA, che evidenzia in genere una variazione (dell'accelerazione nel tempo) brusca e apparentemente casuale, può essere ottenuto come somma di moltissimi moti armonici elementari con periodi e ampiezze diverse.

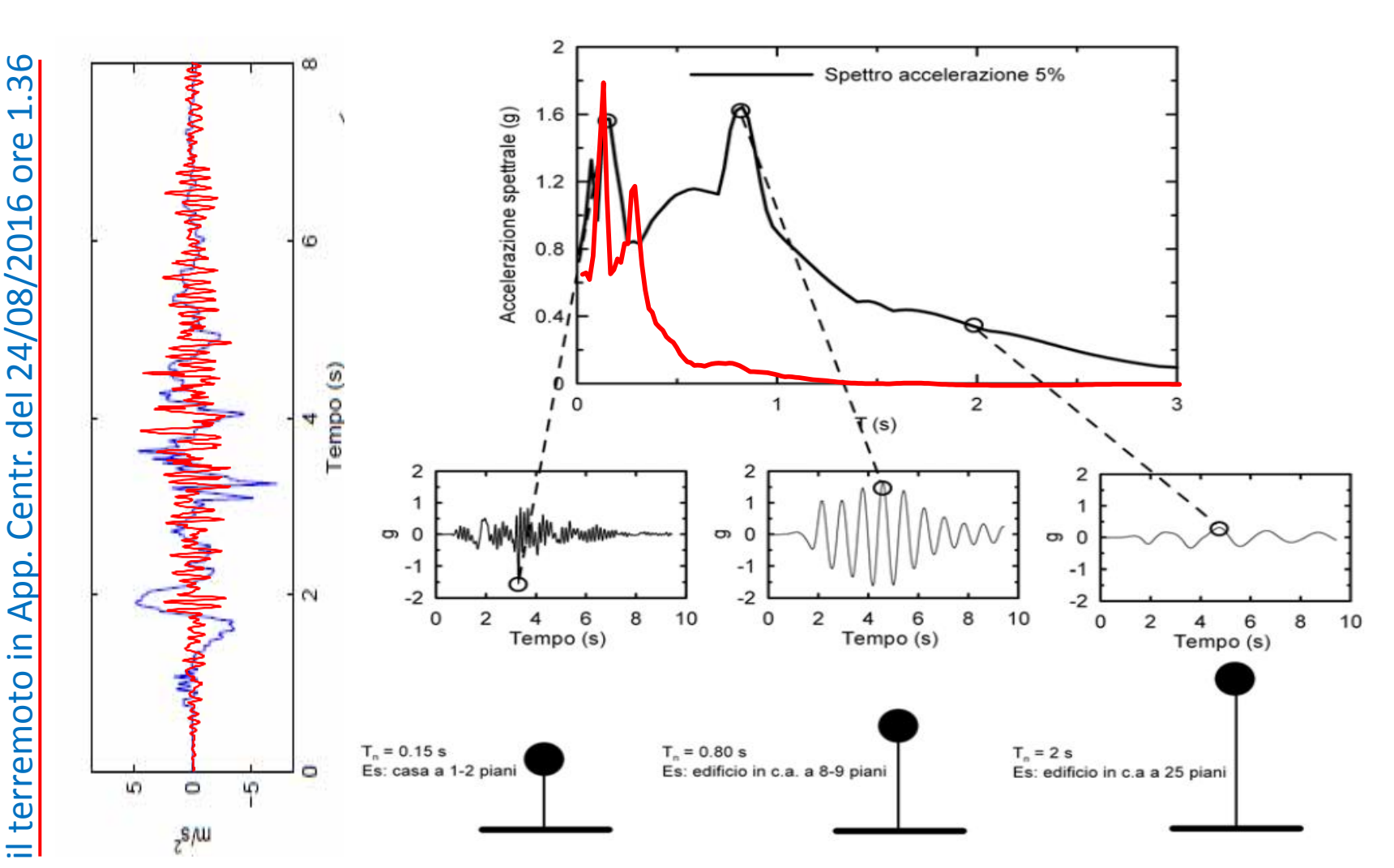
È logico pertanto che strutture con un periodo proprio T_1 risultino particolarmente sensibili alla componente armonica di periodo uguale o molto vicino a T_1

accelerazione assoluta per l'accelerogramma Gemona (comp. EW) registrato durante 3 ore 15/09/1976 del del Friuli terremoto

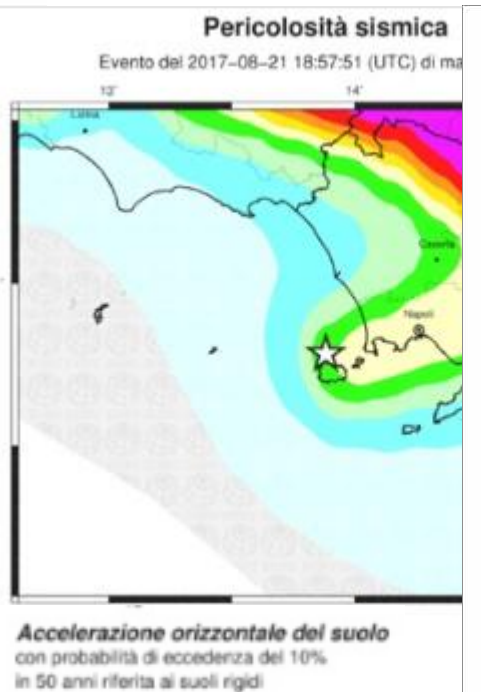


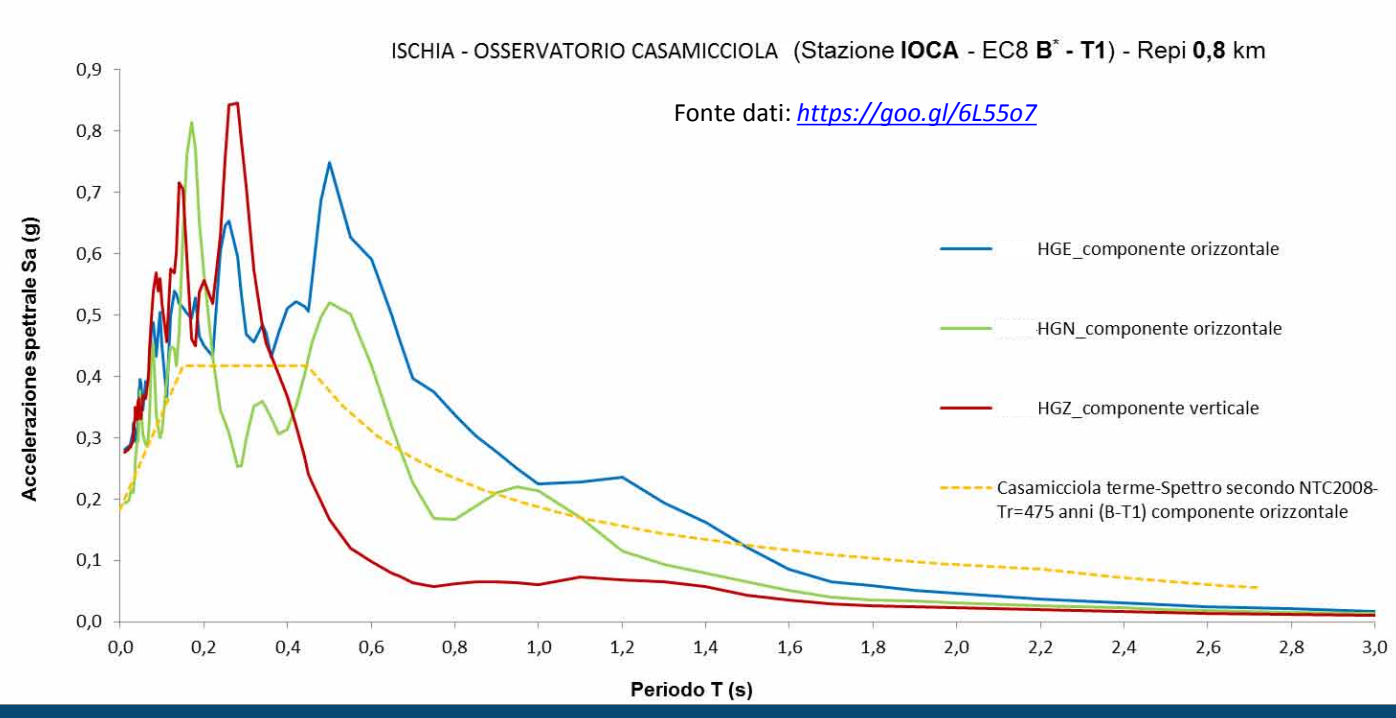
Arquata del Tronto (comp. EW) registrato durante

Lo spettro di risposta fornisce l'ampiezza massima della risposta (in spostamento relativo, velocità relativa o accelerazione assoluta) di un (qualsiasi) oscillatore armonico ad 1 grado di libertà (gdl) soggetto a un accelerogramma assegnato in funzione del periodo strutturale T_n e del fattore di smorzamento ξ .





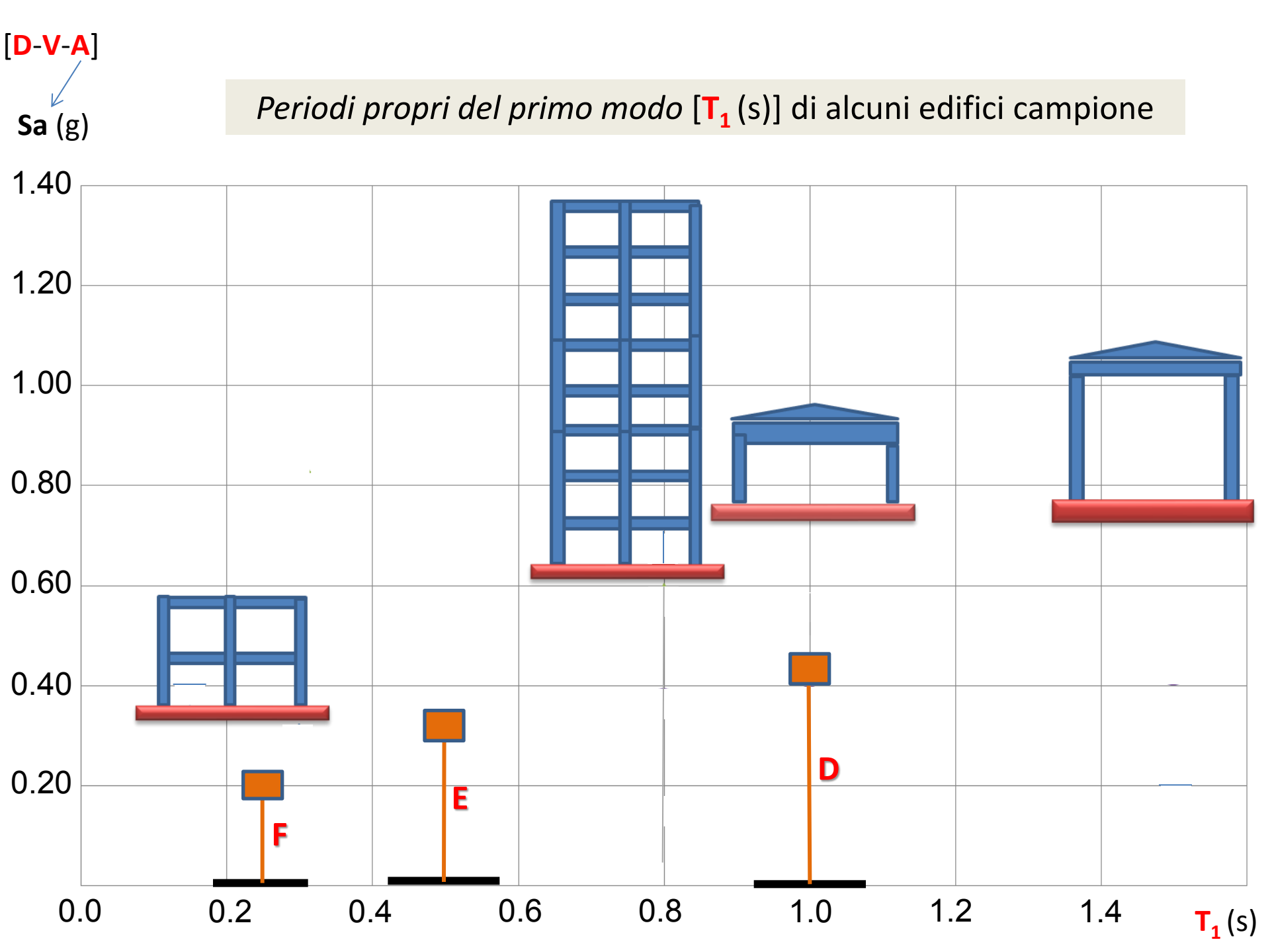


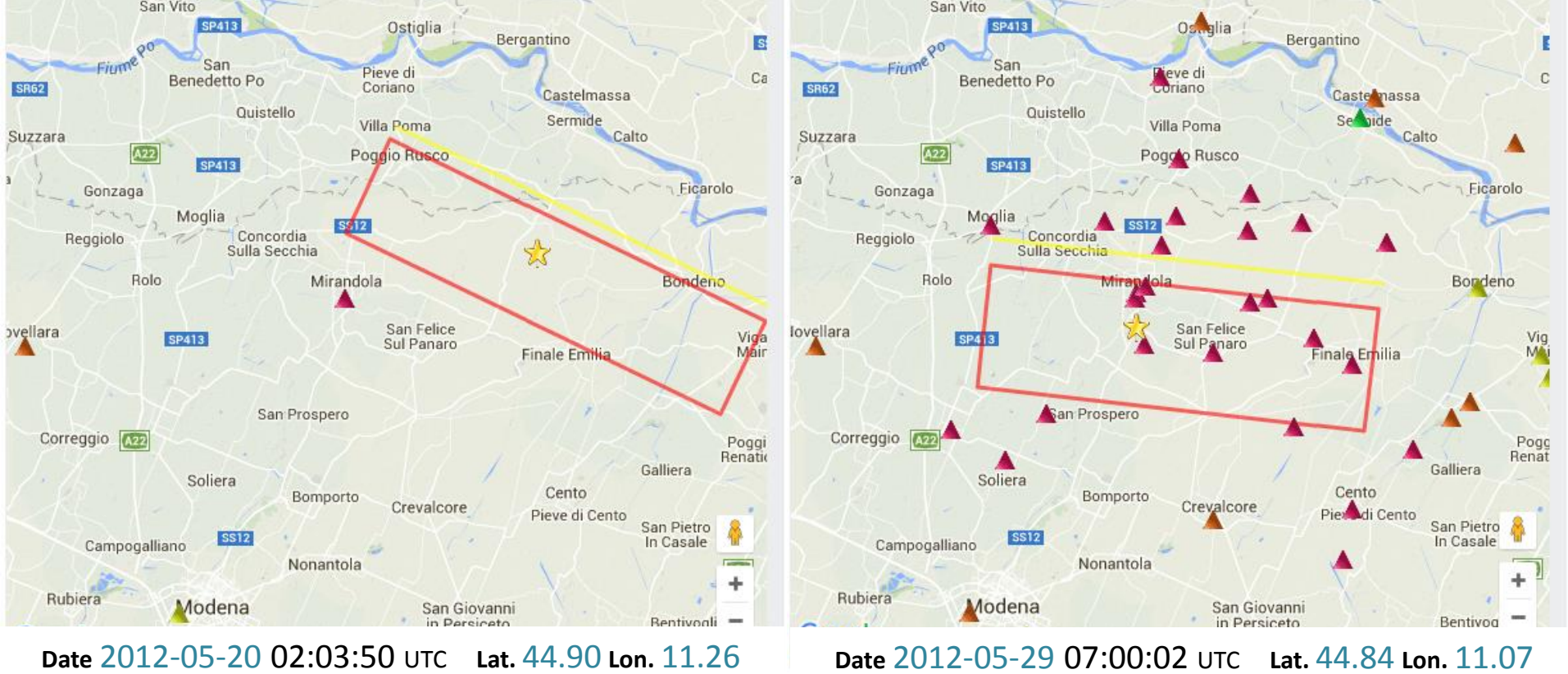


Cronologia delle localizzazioni calcolate

| Tipo | Tempo origine (UTC) | Latitudine | Longitudine | Magnitudo | Profondità (km) | Ora pubblicazione (UTC) | Autore | ID Localizzazione |
|-----------|------------------------|----------------|----------------|-----------------|---------------------|--------------------------------------|------------------------------------|----------------------|
| Rev 100 | 2017-08-21 18:57:51 | 40.71 | 13.84 | ML 3.6 | 10 | 2017-08-21 19:23:06 | Sala Sismica INGV-Roma | 49252001 |
| Rev 200 | 2017-08-21 18:57:51 | 40.71 | 13.84 | Md 4.0 | 10 | 2017-08-21 22:04:41 | Sala Sismica INGV-Roma | 49256621 |
| Rev 200 ★ | 2017-08-21 18:57:51 | 40.78 40.74 | 13.88 13.90 | Md 4.0 ★ Md 4.0 | 5 2 (1,7) | 2017-08-21 22:16:47 2017-08-25 | Sala Operativa INGV-OV (Napoli) | 49256941 |

★ Migliore localizzazione e migliore magnitudo calcolate finora.

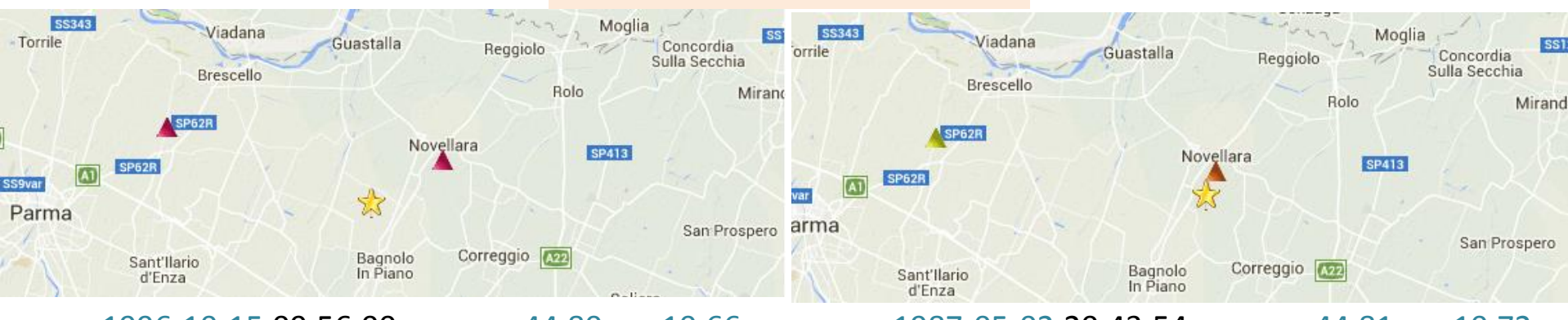




EMILIA 1ST SHOCK Depth [km] 9.5 ML 5.9 Mw 6.1

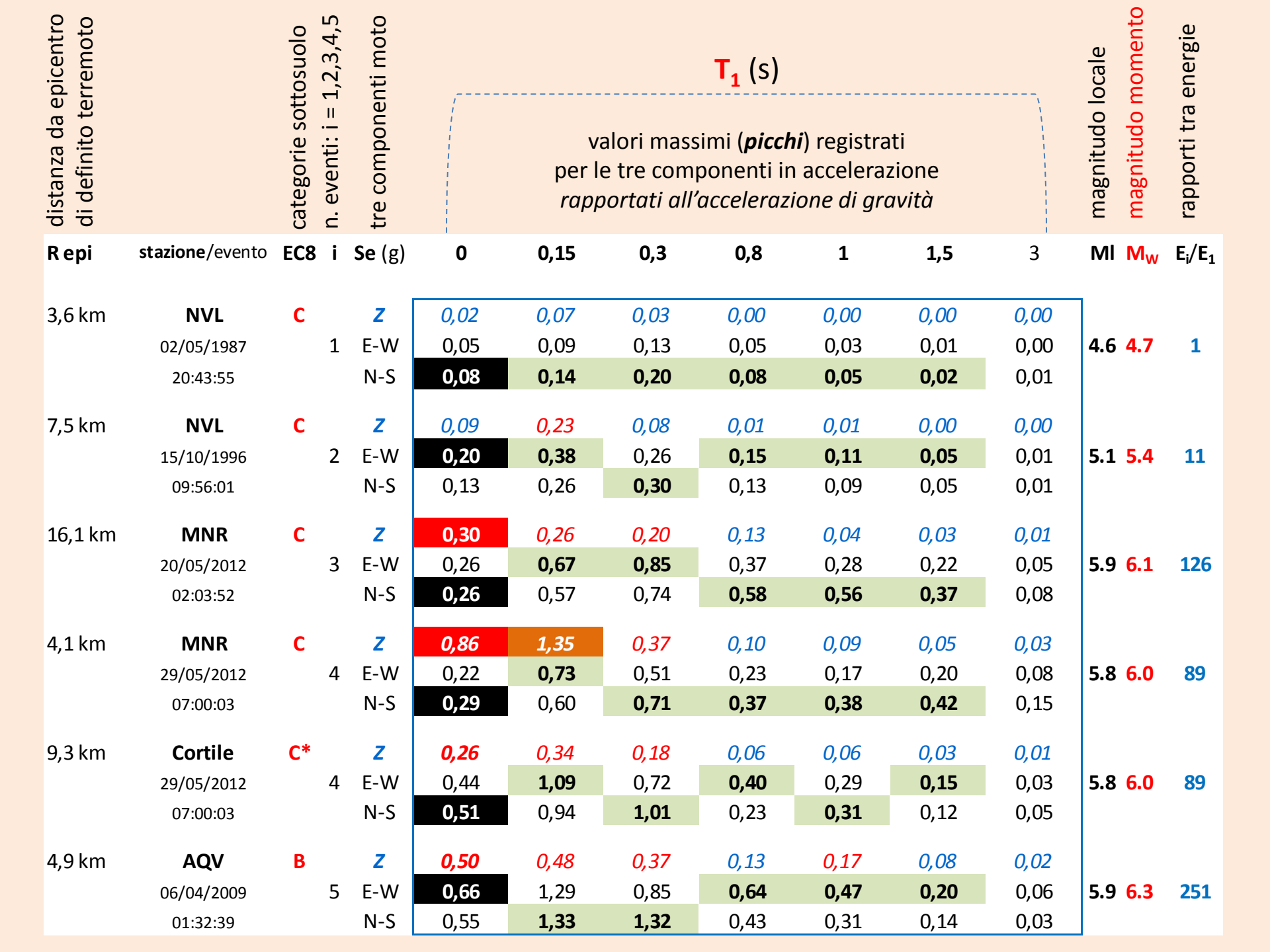
EMILIA 2ST SHOCK Depth [km] 8.1 ML 5.8 Mw 6.0

http://itaca.mi.ingv.it/ItacaNet/

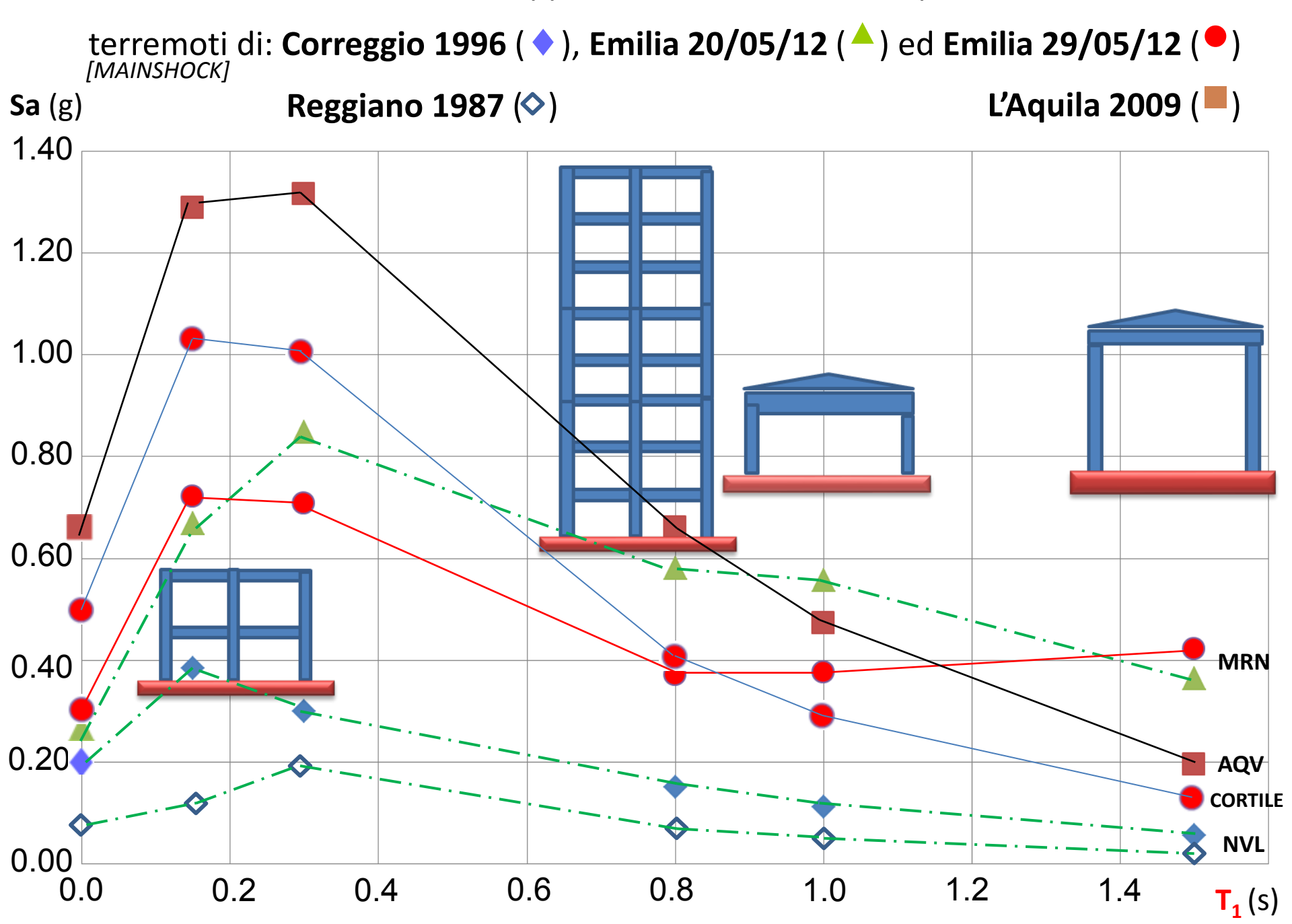


Date 1996-10-15 09:56:00 UTC Lat. 44.80 Lon. 10.66 NORTHERN ITALY Depth [km] 5.0 ML 4.9 Mw 5.4

Date 1987-05-02 20:43:54 UTC Lat. 44.81 Lon. 10.72 NORTHERN ITALY Depth [km] 3.1 ML 4.6 Mw 4.7



Accelerazioni massime sviluppate da alcuni edifici campione in occasione dei



Principale carenza: mancanza di ritegni contro la perdita dell'appoggio



Se le travi sono semplicemente appoggiate sulle colonne e trattenute dal semplice attrito, questo può essere vinto da forti accelerazioni orizzontali rese ancora più efficaci da importanti movimenti sussultori. Se per di più le strutture di appoggio oscillano in modo asimmetrico (stante la diversa rigidezza dei pilastri, es. per le oscillazioni verso sinistra nel caso in figura) può venir meno la condizione di appoggio e ne segue il crollo della trave.

Quanto avvenuto in Emilia nel 2012, ma NON nel 1996 e – tanto meno – nel 1987.

http://quest.ingv.it/index.php

Galli P., Peronace E., Tertulliani A., 2016.

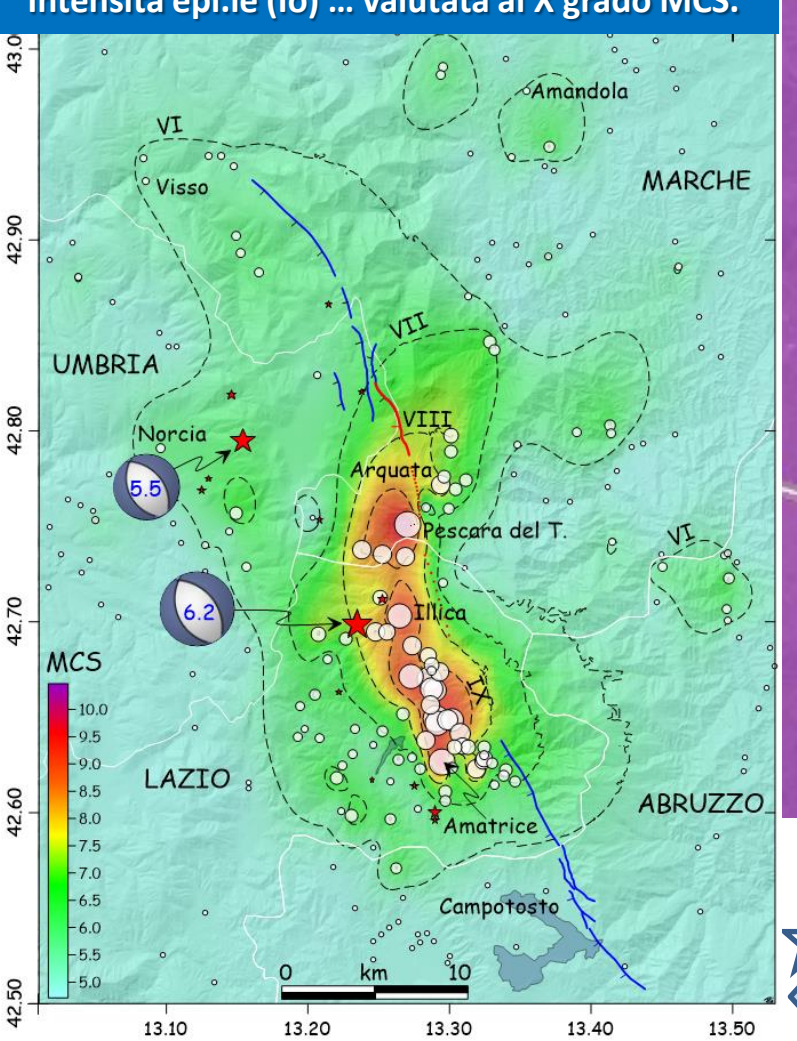
Rapporto sugli effetti macrosismici del terremoto del 24 Agosto 2016 di Amatrice in scala MCS.

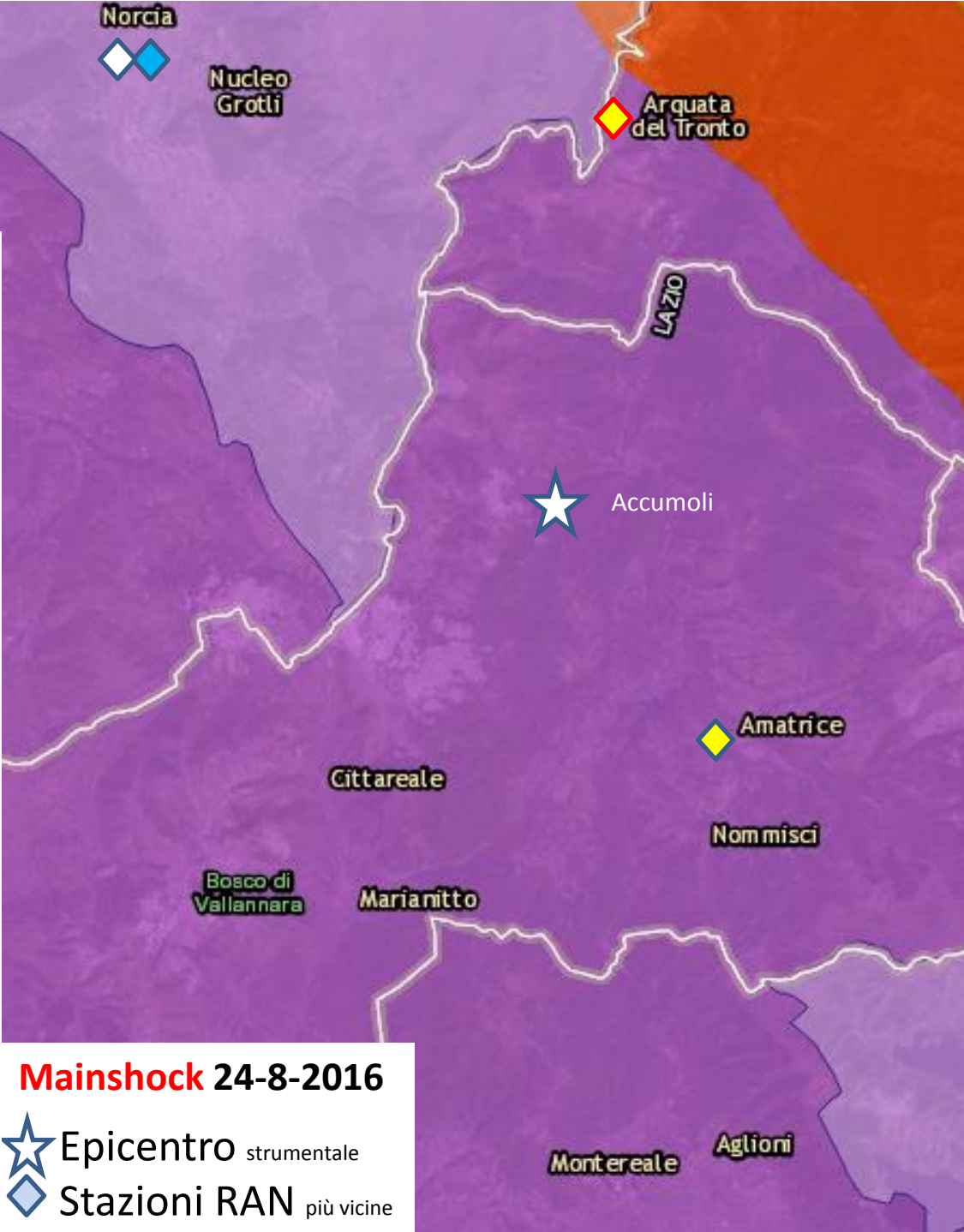
Roma, rapporto congiunto DPC, CNR-IGAG, INGV, 15 p.

Distribuzione delle intensità rilevate per località in termini di scala macrosismica MCS.

Isosisme dal VI al IX MCS.

Intensità epi.le (Io) ... valutata al X grado MCS.







 M_1 **6.0** - M_W **6.2**

Dopo il terremoto del 24 agosto 2016 AMATRICE dall'alto

X-XI grado M.C.S.

«In generale il livello altissimo di distruzione è legato alla vulnerabilità sismica degli edifici, associato in qualche caso ad effetti di sito ...» (p. 6 del Rapporto sugli effetti macrosismici ...)

 M_L **6.0** - M_W **6.2**

Dopo il terremoto del 24 agosto 2016 NORCIA scorcio del centro storico

VI grado M.C.S.

Norcia, il sisma fa paura ma non uccide:
"Ci ha salvato la ricostruzione"



| Sta | | Nome Stazione | EC8 | R epi | PGA | PSA015 | PSA03 | PSA08 | PSA10 | PSA15 | PSA30 |
|-----|-----|---------------|------------|-------|--------|--------|--------|--------|--------|--------|--------|
| | Can | | Topografia | km | Sa (g) |

| Parame | etri RAN | Epicentro (auth: INGV) | 2009-04-0 | 009-04-06 01:32:39 - L'Aquila - MI 5.9 Mw 6.3, De 8,3 km | | | | | | | | | |
|--------|-------------|------------------------|-----------|--|------|------|------|------|------|------|------|--|--|
| AQV | HGE | L'Aquila_V.Aterno_C.V. | B T1 | 4.90 | 0,66 | 1,29 | 0,85 | 0,64 | 0,47 | 0,20 | 0,06 | | |
| AQV | HG N | L'Aquila_V.Aterno_C.V. | B T1 | 4.90 | 0,55 | 1,33 | 1,32 | 0,43 | 0,31 | 0,14 | 0,03 | | |
| AQV | HG Z | L'Aquila_V.Aterno_C.V. | B T1 | 4.90 | 0,50 | 0,48 | 0,37 | 0,13 | 0,17 | 0,08 | 0,02 | | |

| Parame | tri RAN | Epicentro (auth: INGV) | 2012-05-2 | 29 07:00 | :03 - Miı | andola, l | Modena | - MI 5.8 | 3 Mw 6.0 |), De 8,0 |)7 km |
|--------|-------------|------------------------|-----------|----------|-----------|-----------|--------|----------|----------|-----------|-------|
| MRN | HGE | Mirandola | C T1 | 4.10 | 0,22 | 0,72 | 0,51 | 0,23 | 0,17 | 0,20 | 0,08 |
| MRN | HG N | Mirandola | C T1 | 4.10 | 0,29 | 0,60 | 0,71 | 0,37 | 0,38 | 0,42 | 0,15 |
| MRN | HG Z | Mirandola | C T1 | 4.10 | 0,86 | 1,35 | 0,37 | 0,10 | 0,09 | 0,05 | 0,03 |

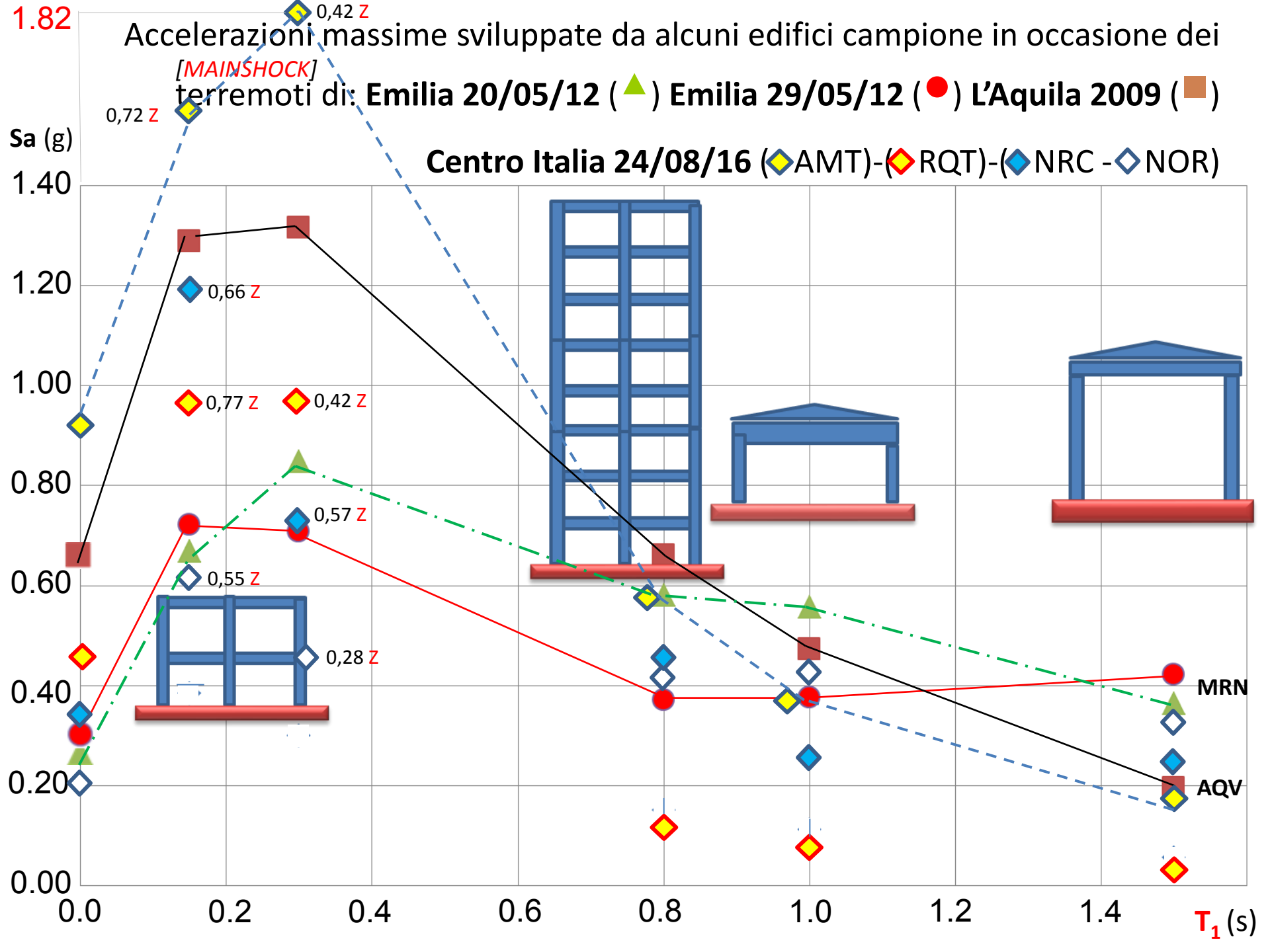
| Parame | Parametri RAN Epicentro (auth: INGV) 2012-05-20 02:03:50 - Mirandola, Modena - MI 5.9 Mw 6.1, De 9,5 km | | | | | | | | | | | |
|--------|---|-----------|------|-------|------|------|------|------|------|------|------|--|
| MRN | HGE | Mirandola | C T1 | 16.10 | 0,26 | 0,67 | 0,85 | 0,37 | 0,28 | 0,22 | 0,05 | |
| MRN | HG N | Mirandola | C T1 | 16.10 | 0,26 | 0,57 | 0,74 | 0,58 | 0,56 | 0,37 | 0,08 | |
| MRN | HG Z | Mirandola | C T1 | 16.10 | 0,30 | 0,26 | 0,20 | 0,13 | 0,04 | 0,03 | 0,01 | |

Fonte dati: http://itaca.mi.ingv.it/ltacaNet/

| Parame | tri RAN | Epicentro (auth: INGV) | 2016-08-2 | 2016-08-24 01:36:32 - Accumoli, Rieti - MI 6.0 Mw 6.2, De ≅ 8 km | | | | | | | | | | | |
|--------|-------------|------------------------|-----------|--|------|-------|------|------|-------|-------|------|--|--|--|--|
| AMT | HGE | Amatrice | B* T1 | 9.58 | 0,93 | 1,59 | 1,82 | 0,27 | 0,20 | 0,09 | 0,02 | | | | |
| AMT | HG N | Amatrice | B* T1 | 9.58 | 0,45 | 0,77 | 0,58 | 0,58 | 0,36 | 0, 18 | 0,04 | | | | |
| AMT | HG Z | Amatrice | B* T1 | 9.58 | 0,41 | 0,72 | 0,42 | 0,38 | 0,33 | 0,17 | 0,06 | | | | |
| RQT | HGE | Arquata_Del_Tronto | A* T2 | 13.91 | 0,46 | 0,95 | 0,96 | 0,14 | 0,08 | 0,03 | 0,02 | | | | |
| RQT | HG Z | Arquata_Del_Tronto | A* T2 | 13.91 | 0,40 | 0,77 | 0,42 | 0,05 | 0,04 | 0,07 | 0,02 | | | | |
| NRC | HG E | Norcia | B T1 | 14.25 | 0,34 | 0,87 | 0,73 | 0,48 | 0,24 | 0,23 | 0,05 | | | | |
| NRC | HGN | Norcia | B T1 | 14.25 | 0,38 | 1, 18 | 0,65 | 0,31 | 0,20 | 0, 19 | 0,05 | | | | |
| NRC | HG Z | Norcia | B T1 | 14.25 | 0,21 | 0,66 | 0,57 | 0,17 | 0, 10 | 0,07 | 0,02 | | | | |
| NOR | HGE | Norcia La Castellina | C* T1 | 14.25 | 0,20 | 0,64 | 0,31 | 0,41 | 0,42 | 0,34 | 0,07 | | | | |
| NOR | HG N | Norcia La Castellina | C* T1 | 14.25 | 0,17 | 0,38 | 0,45 | 0,27 | 0,25 | 0, 19 | 0,05 | | | | |
| NOR | HG Z | Norcia La Castellina | C* T1 | 14.25 | 0,26 | 0,55 | 0,28 | 0,29 | 0,12 | 0,09 | 0,02 | | | | |

N.B. Dati provvisori revisionati

Fonte dati: http://ran.protezionecivile.it

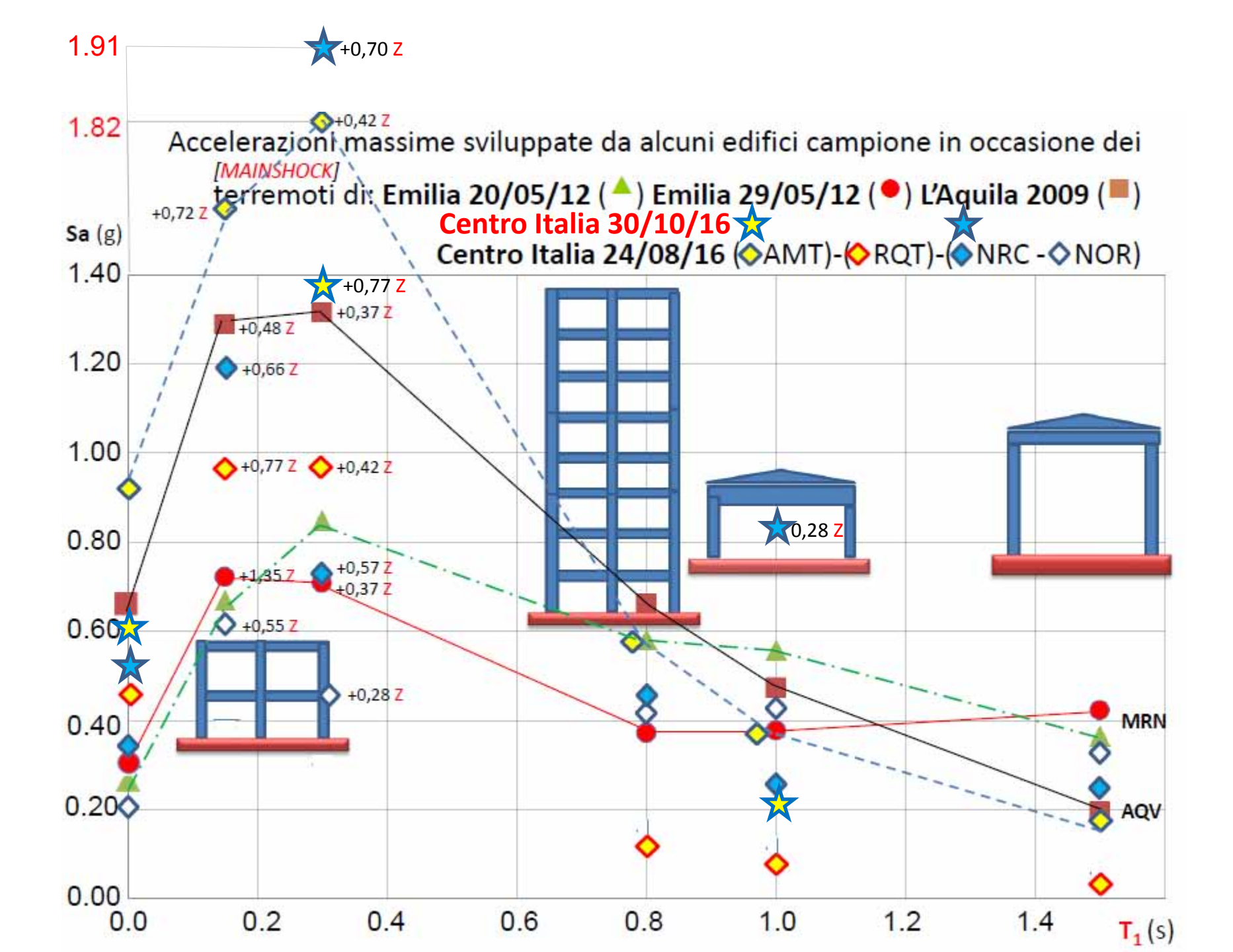


Mw **6.5**

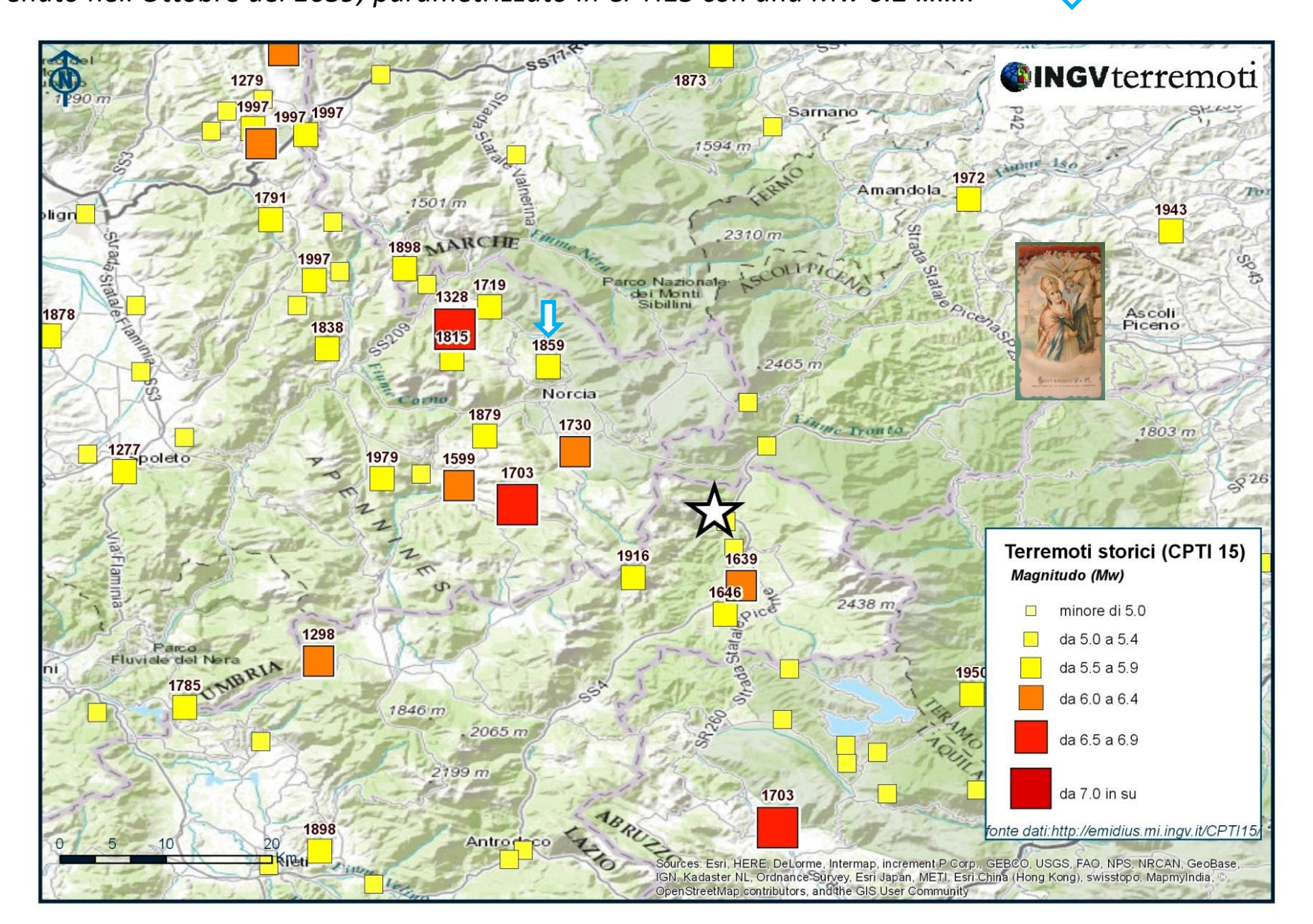
| Pa ra me | tri RAN | Epicentro (aut | th: ING | V) MI (| 6.1, 20 | 16-10-3 | 0 06:40 | : 17 (UTC | C) - No | rcia, Peru | gia | | | | |
|----------|-------------|------------------|------------|--------------|---------|---------|----------------|----------------------------|---------------|---------------|-----|---------------|-----------------|-----------------|-----------------|
| Sta | Can | Nome Stazione | dist km | PGA cm/s² | | | PSA10 cm/s² | PSA30 cm/s ² | Arias cm/s | Housner cm | EC8 | PGA Sa (g) | PSA03 Sa (g) | PSA10 Sa (g) | PSA30 Sa (g) |
| NRC | НG Е | Norcia | 5.40 | 477 | 47 | 1.870 | 807 | 91 | 327 | 226 | В | 0,49 | 1,91 | 0,82 | 0,09 |
| NRC | HG N | Norcia | 5.39 | 327 | 38 | 1.130 | 535 | 109 | 218 | 165 | В | 0,33 | 1,15 | 0,55 | 0,11 |
| NRC | HG Z | Norcia | 5.39 | 378 | 18 | 683 | 274 | 32 | 164 | 85 | В | 0,39 | 0,70 | 0,28 | 0,03 |
| AMT | НG Е | Amatrice | 27.20 | 607 | 26 | 698 | 196 | 56 | 140 | 106 | B* | 0,62 | 0,71 | 0,20 | 0,06 |
| AMT | HG N | Amatrice | 27.20 | 440 | 29 | 1.335 | 204 | 32 | 61 | 98 | B* | 0,45 | 1,36 | 0,21 | 0,03 |
| AMT | НG Z | Amatrice | 27.20 | 354 | 22 | 759 | 183 | 58 | 56 | 90 | B* | 0,36 | 0,77 | 0,19 | 0,06 |

N.B. Dati provvisori revisionati

Fonte dati: http://ran.protezionecivile.it







LA MAGISTRATURA

DI NORCIA

NOTIFICAZIONE

Ammesso dal generale Consiglio di questo Comune tenuto li 17. Novembre 1859 il Regolamento Edilizio relativo al modo da invariabilmente osservarsi in questa Città tanto nella costruzione de' fabricati, quanto nel riattamento degli antichi, redatto dai prescelti Deputati a base delle Istruzioni somministrate dalli Chiarissimi Signori P. Angelo Secchi della Compagnia di Gesù, e Professore Commendatore Luigi Poletti, e riportatane la Sovrana sanzione partecipata a questo Municipio dall' Apostolica Delegazione di Provincia con Ossequiato Dispaccio dei 30. Aprile 1860. N. 2778; la Magistratura suddetta si fa sollecita con la presente Notificazione renderlo di pubblico diritto riportandone qui appresso l'intero tenore affinchè ognuno possa conoscere le prescrizioni che in esso Regolamento si contengono, ed attenersi scrupolosamente alle medesime tanto nel costruire nuovi Caseggiati, quanto nel riattare gli antichi, iscansando per tal modo tutte quelle comminate pene, e danni, che in caso di trasgressione ciascano irremissibilmente andarebbe ad incorrere; avvertendo, che detta Legge Edilizia avrà la sua piena esecuzione a contare dal 45. corrente Maggio.

Dalla Residenza Comunale li 10. Mag-

gio 1860.

LUIGI CAV. COLIZZI GONFALONIERE



PIETRO Dr. FUSCONI GIUSEPPE Dr. CARDUCCI FELICIANO PATRIZJ-FORTI STEFANO ONORJ NUNZIO MASSENZI FILIPPO C. BATTAGLIA

ANZIANE

Norcia Tip. Zitelli



Arch./ing. Luigi POLETTI (Modena 1792 – Milano 1869)

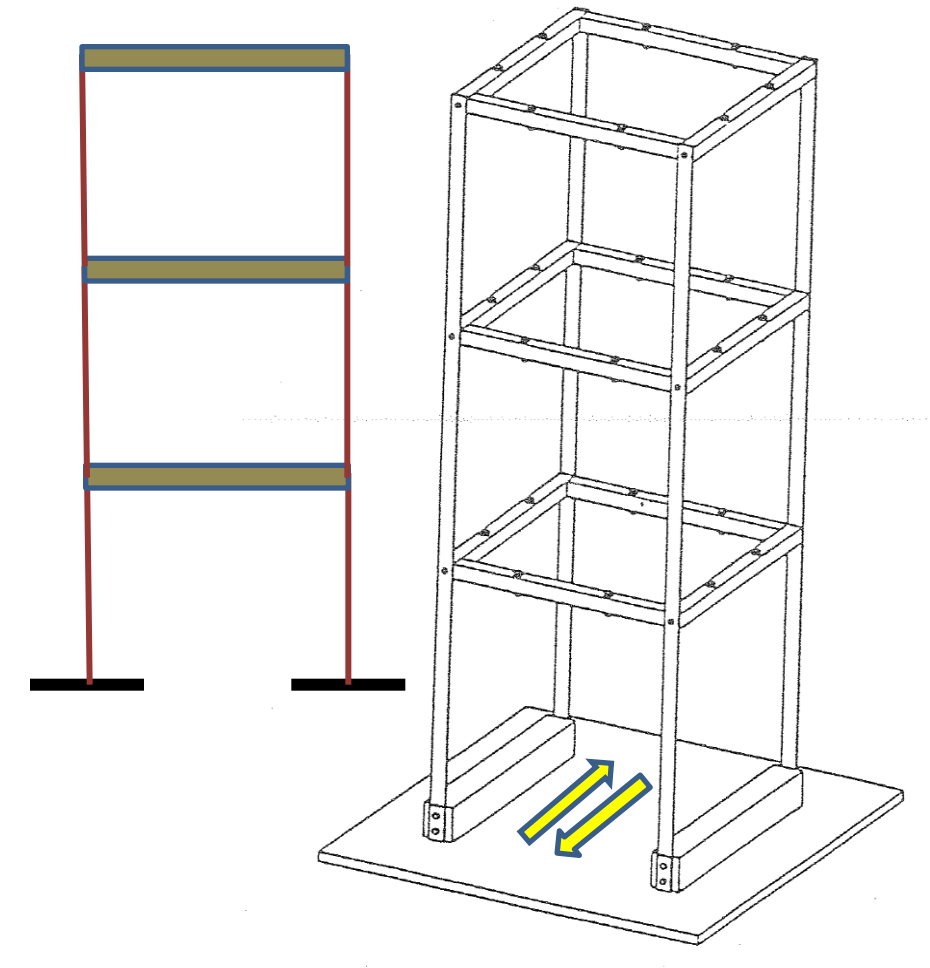
Esperienze n. 2



Configurazione
strutturale regolare per
distribuzione di masse e rigidezze
L'oscillazione avviene in una sola

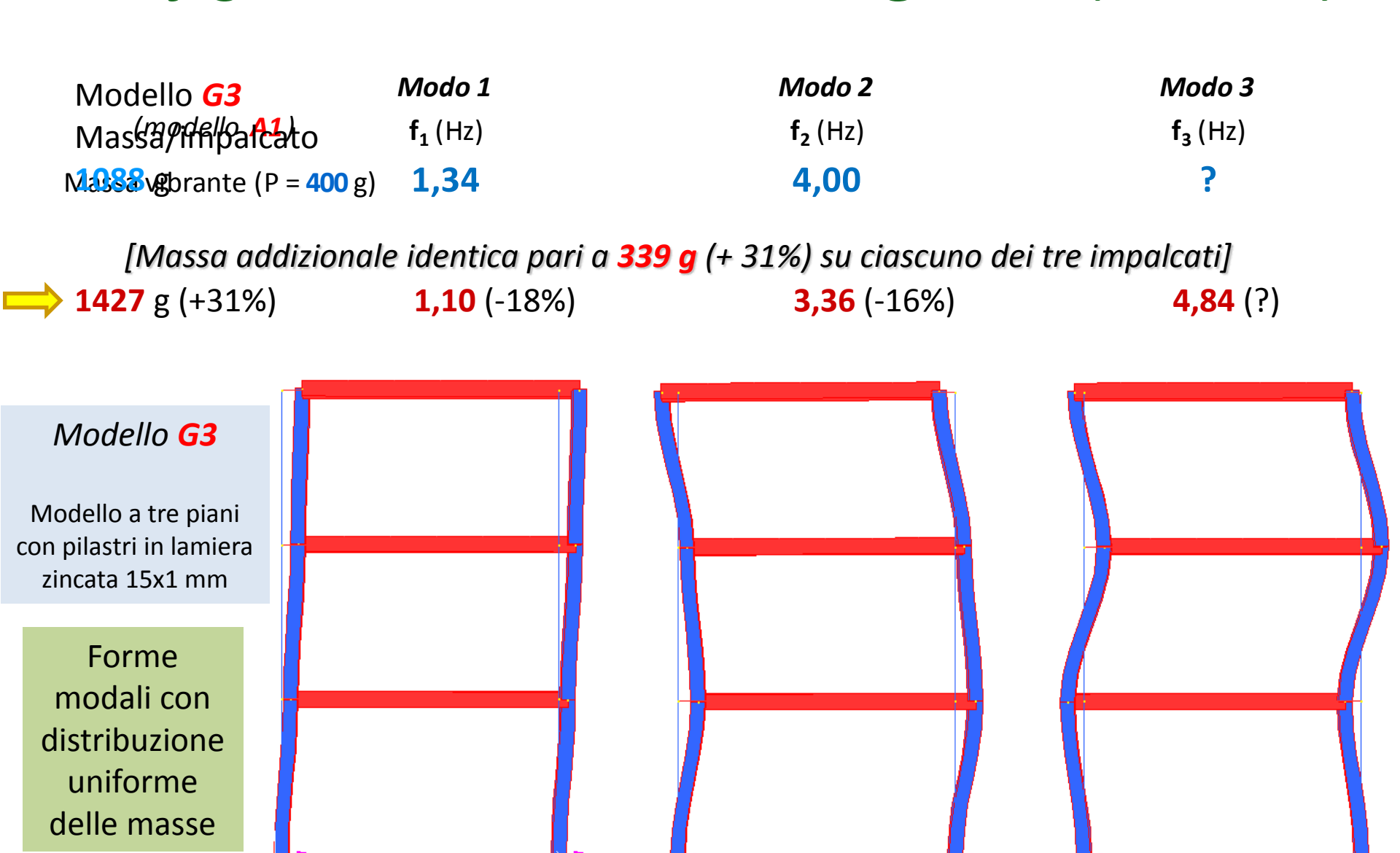
direzione predeterminata e quindi sono possibili solo i tre spostamenti indipendenti dei tre solai:

(tre gradi di libertà - 3 GdL)



Identificazione sperimentale delle **frequenze** $f_1 - f_2 - f_3$ per i **tre modi naturali di vibrare**

Configurazione strutturale regolare (3 G.d.L.)



E in casi di incrementi di massa distribuiti con irregolarità in alzato?

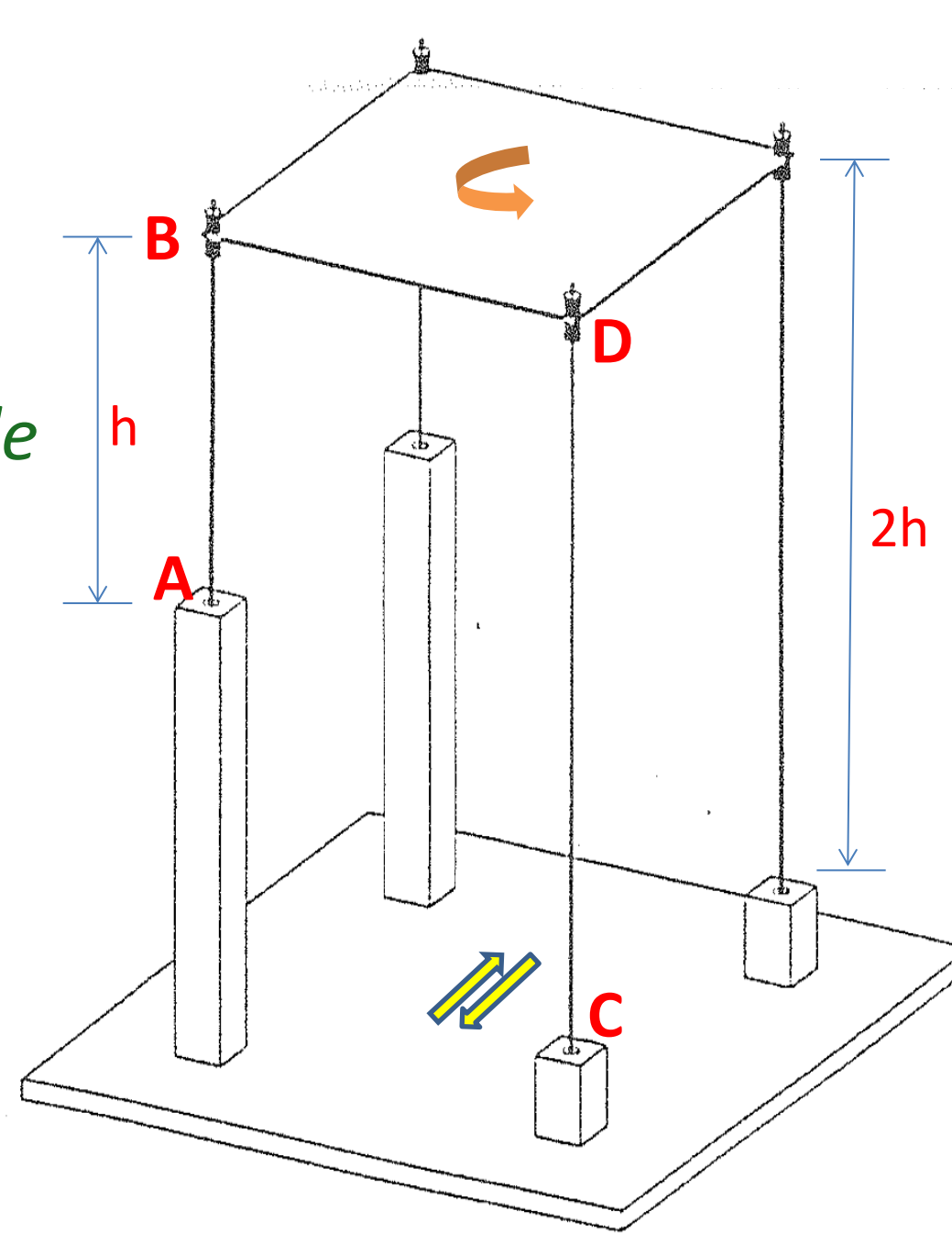
Esperienza n. 3

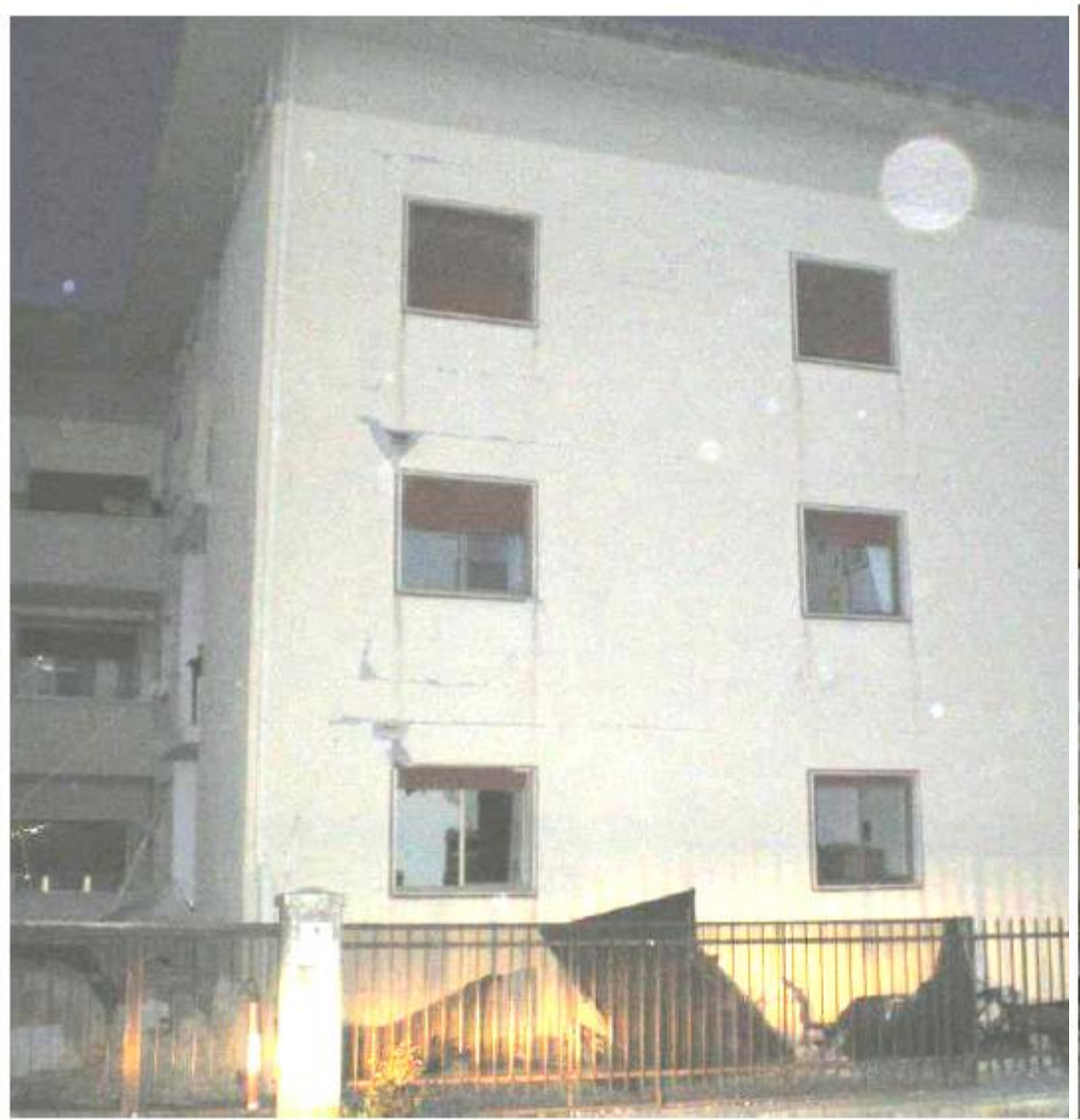
Configurazione strutturale

irregolare in pianta

Il pilastro AB è 8 volte più rigido del pilastro CD

L'impalcato ha tre gradi di libertà (due spostamenti e una rotazione) e non si tratta quindi di oscillatore semplice. Il primo dei tre modi di oscillare risulta essenzialmente di tipo torsionale.







L'Aquila (Pettino): edificio con "piano soffice". Il manufatto pur conservando una discreta integrità strutturale ai piani superiori, ha subito il collasso dei pilastri al piano terra.

Particolare di uno dei pilastri collassati



2^a parte

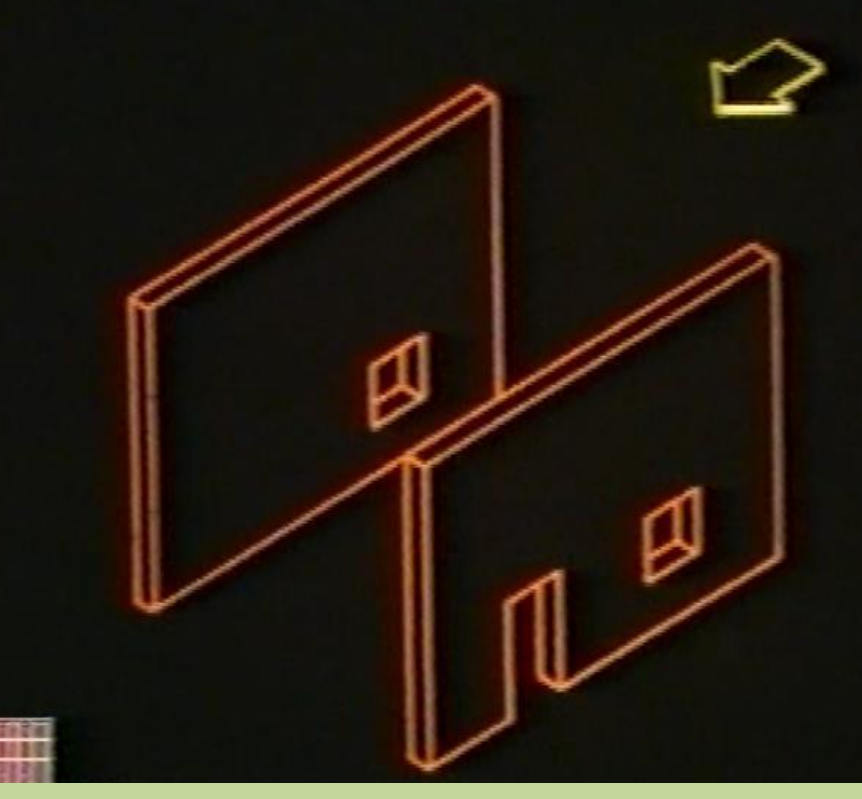


da: Riparare Rafforzare Prevenire

Regione Umbria 1985

MODELLO CASA IN MURATURA

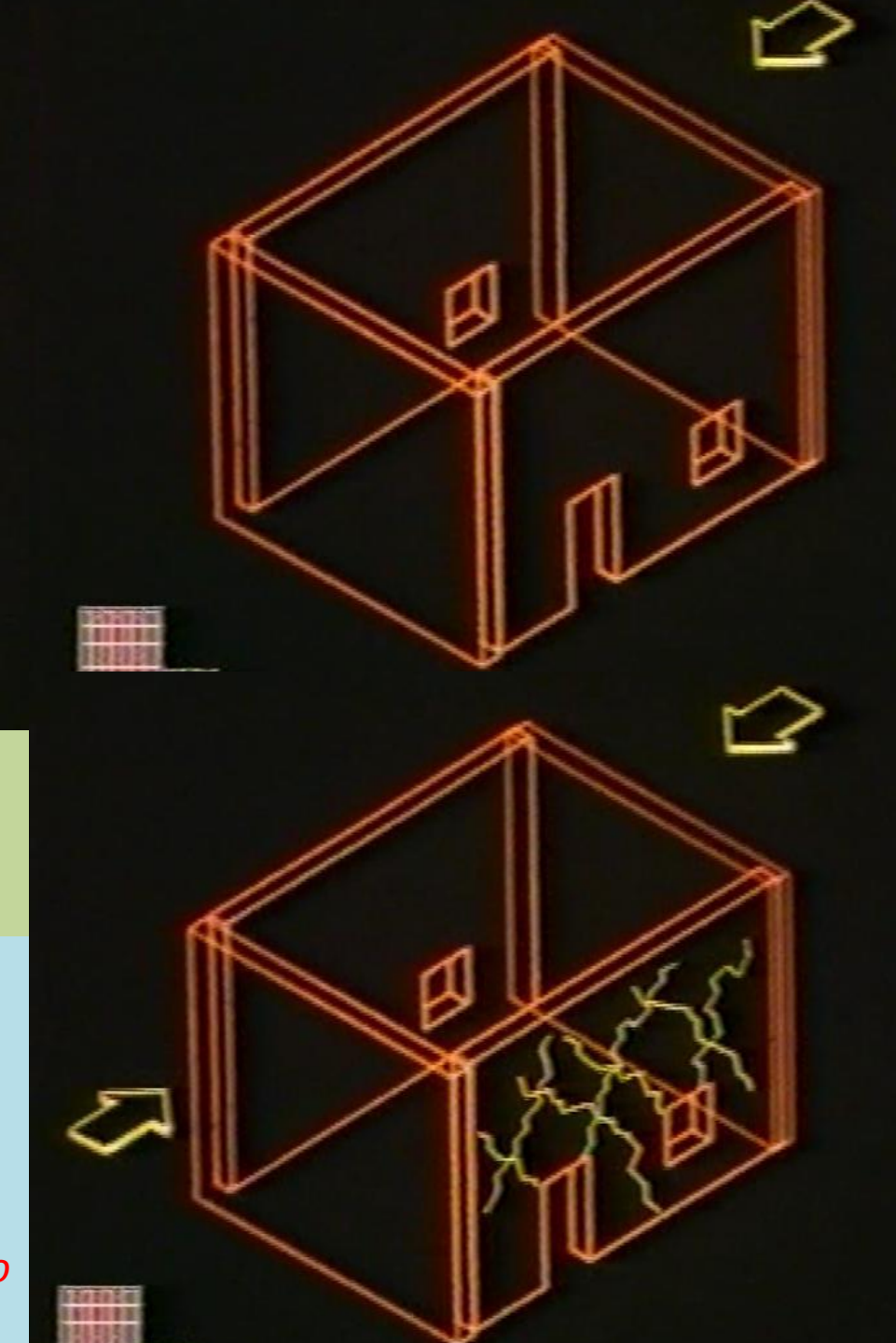
(filmato di 84 secondi)

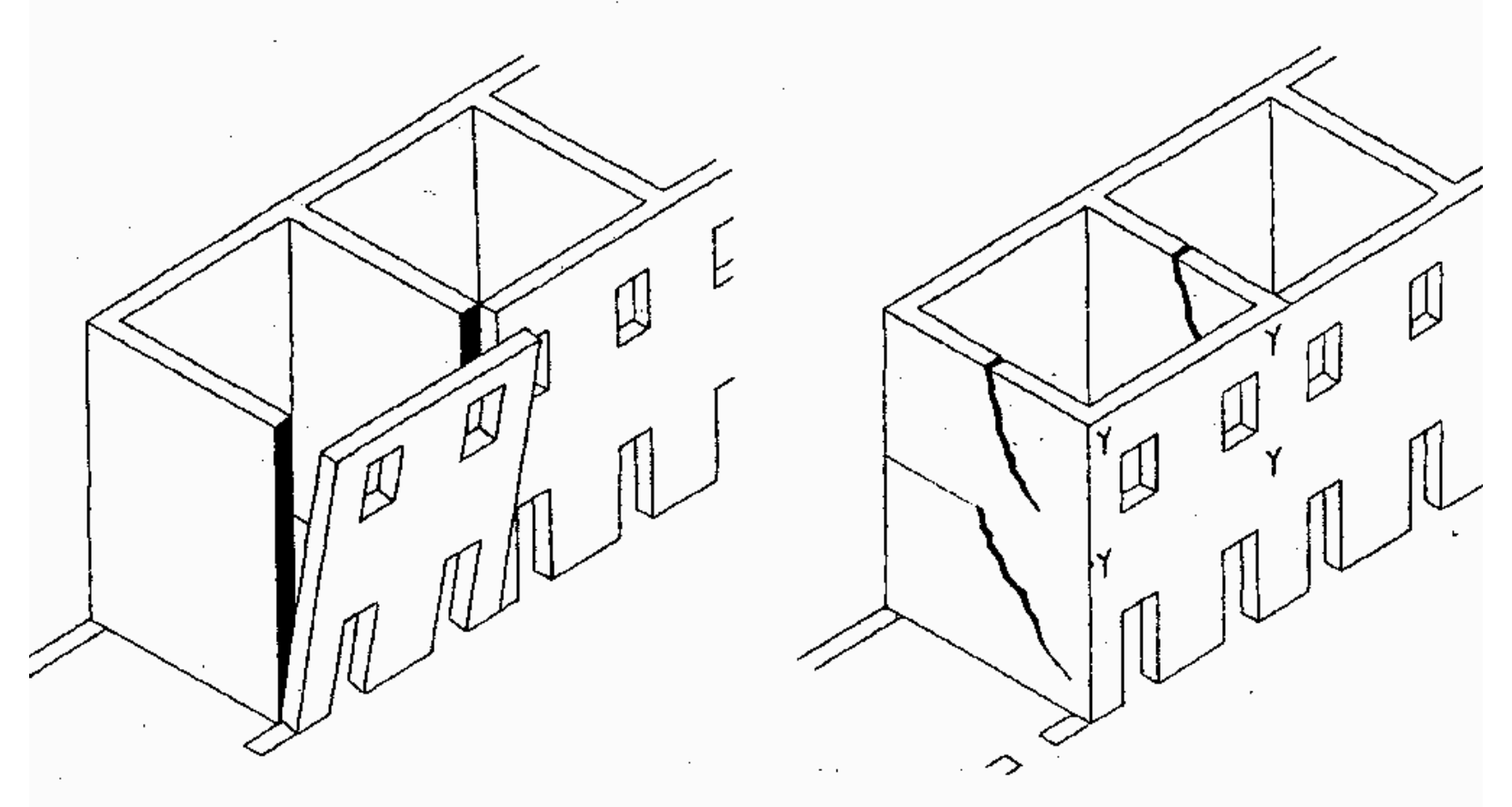


Meccanismi resistenti globali, per sollecitazione delle pareti murarie nel proprio piano

È obiettivo a cui tendere niente affatto scontato dipendendo dalla qualità dei collegamenti tra elementi strutturali (pannelli murari e solaio).

I meccanismi di taglio si potranno sviluppare se i meccanismi di I° modo (ribaltamenti) sono inibiti (pareti ammorsate o incatenate)





Ribaltamento della parete (meccanismo di I modo) Assenza di ammorsamento fra le pareti. Condizione di massima pericolosità Rottura per taglio (meccanismo di II modo) in virtù della buona tessitura muraria. In assenza di ammorsamento si può ovviare con l'introduzione di incatenamenti.

Terremoto in Abruzzo del 6 aprile 2009 ($M_L = 5.9$; $M_w = 6.3$)

Immagini da due località: entrambe valutate con effetti di IX° MCS





A soffrire maggiormente fu il centro storico della città di Parma, ove i danni furono piuttosto diffusi e in alcuni casi abbastanza gravi. Emerse così il tema delle grandi VULNERABILITÀ presenti nel tessuto urbano, anche in relazione a pregressi interventi edilizi non consoni con l'organizzazione strutturale spaziale degli edifici.

Pagg. 46-47:

«... Fu predisposto il rilevamento di tutti i tipi di lesione e si vide che a ciascuno di essi corrispondeva un 'difetto' strutturale ben preciso, che andava ben oltre il mero degrado dei materiali. Si notò innanzitutto che i maggiori punti di crisi lungo le schiere si erano verificati in corrispondenza di:

- 1 aperture di negozi, garages, ecc, realizzate in epoca recente (dagli anni 50 in poi) con dimensioni molto maggiori di quelle normalmente presenti ed originarie;
- 2 aumento del numero delle aperture con alterazione del rapporto vuoti-pieni delle parti;
- 3 eliminazione dei setti di muratura portante posti trasversalmente rispetto ai muri perimetrali più lunghi, dando origine a locali con dimensioni superiori a 7 m;
- 4 Sostituzione di solai e coperture lignee con travetti di cemento e strutture cementizie in genere, con aumento (in certi casi con raddoppio) del peso gravante sulle murature o sulle fondazioni e conseguente incremento della spinta orizzontale indotta dalle forze sismiche.



Ferrara 20 Maggio 2012. Conseguenze dell'inserimento alla base della parete di una guaina tagliamuro contro l'umidità di risalita.

«Fare avanzare la <u>prevenzione sismica</u> come nuova strategia, finora sempre sostanzialmente disattesa, nell'uso del territorio, prendendo finalmente atto che il problema centrale era e resta quello delle costruzioni esistenti, nate senza considerare la possibilità di terremoti o addirittura indebolite nel corso degli anni da mancanza di manutenzione e da interventi inopportuni. Per queste bisognerà trovare meccanismi che, nel corso degli anni (non pochi data l'entità del patrimonio a rischio), incentivino il privato ad intervenire e guidino il pubblico a indirizzare le risorse via via disponibili anche alla limitazione del rischio sismico secondo riconosciute e condivise priorità.»

«Si ricordi quanto è stato speso per l'abbattimento delle barriere architettoniche, per la messa a norma degli impianti elettrici, per il risparmio energetico, per la sicurezza al fuoco con interventi spesso separati tra loro e talvolta controproducenti dal punto di vista sismico: sarebbe bene in futuro progettare interventi che considerino tutti gli aspetti legati alla sicurezza, eventualmente realizzandoli poi per stralci se le risorse non sono sufficienti.»

Prof. Vincenzo Petrini, Presidente CTS Regione Emilia-Romagna – fine maggio 2012



C'e un enorme fabbisogno di riqualificazione degli insediamenti e delle costruzioni esistenti Questa è la nuova grande domanda a cui occorre rispondere per un futuro di civiltà e sicurezza



..e lavoro..